АКАДЕМИЯ НАУК АРМЯНСКОЙ ССР

2 6 4 Л В В 6 6 Г. ДОКЛАДЫ

LXX, No 1
1980

<mark>Խմբագ</mark>բական կոլեցիա

Գ Ա ԱՐՋՈՒՄԱՆՑԱՆ, ահիւն. գիտ. թեկնաin (www furmanur), t. T. USChusille, ԿՍՀ ԴԱ թորակից-անդամ, Ա. P ԲԱԲԱ-ԱՆ, ՀՍՍՀ ԳԱ ակադեմիկոս, Հ. Խ. ԲՈՒՆ-«ԱԹՅԱՆ, ՀՍՍՀ Գև ակադեմիկոս, Ա Ա. <u>՝ԱԼԱԼՏԱՆ, ՀՍՍՀ ԳԱ թղթակից-անդամ.</u> լ. Մ. թարևցան, ՀՍՍՀ ԳԱ թղբակից-անդամ, Վ Հ. ՀԱՄԻԱՐՁՈՒՄՖԱՆ, ակադեմիկոս. վ. Հ. ՂԱԶԱՐՈԱՆ, ՀՍՍՀ ԳԱ ակադիմիկոս (ատա խմբագրի տեղակալ), Հ. Գ. ՄԱՂԱՔ-5ԱՆ, ՀՍՍՀ Գև ակադեմիկոս, Ա. Դ. ՆԱՋԱՐՈՎ, 2002 ԳԱ ակադեմիկոս (պատ. խմբադիշ), Գ Ս ՍԱՀԱԿՅԱՆ, ՀՈՍՀ ԳԱ թղթակից-անդամ, 0 Մ. ՈԱՊՈՆՋՑԱՆ. ՀՍՍՀ ԳԱ բգրակիցmigms. U L Sbr-Ur-Pusblade 2002 ԳԱ թղոակից-անդամ, Վ Բ. ՖԱՆԱՐՋՏԱՆ, 2002 94 papuhhg-magud

Редакционная коллегия

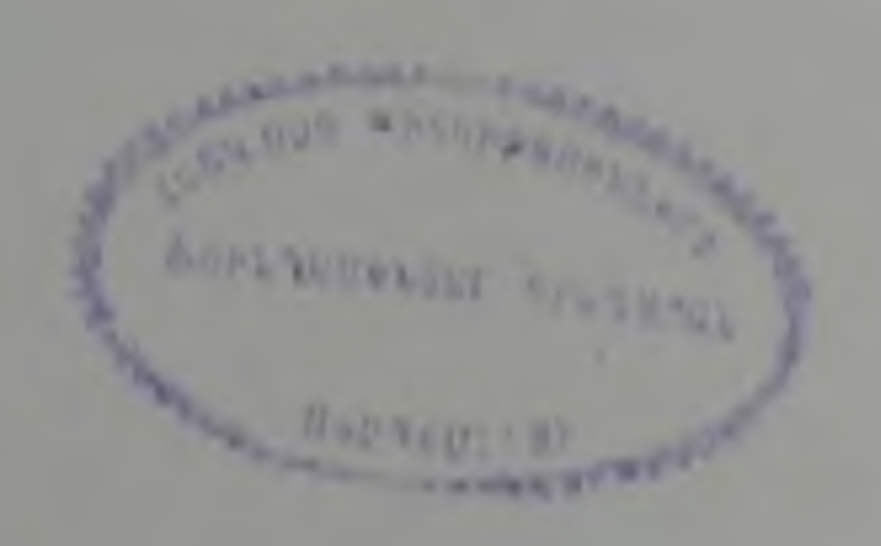
В А АМБАРЦУМЯН, вкадемик, Г. А. АРЗУМАНЯН, канд. техн наук (отв. секретары), Э Г. АФРИКЯН, чл.-корр АН АРМССР, А. Т. БАБАЯН, академик АН АрмССР, Г. Х БУНЯТЯН, вкадемик АН АрмССР, В О КАЗАРЯН, акаденик АН АриССР (зам отв редактора). И Г МАГАКЬЯН, академик АН Арм. ССР. А. Г. НАЗАРОВ, экадемих АН АрмССР (отв редактор), Г. С. СААКЯН. чл -корр АН АриССР, О. М. САПОН-ДЖЯН чл корр АН АрчССР, А. А. ТА-ЛАЛЯН, чл корр. АН АрыССР, В М ТАРАЯН ЧЯ-КООО. АН АРЫССР, М Л ТЕР МИКАЕЛЯН, чл-корр. АН АрыССР В. В ФАНАРДЖЯН, чи-корр. АН ADMCCP.

የበዺԱՆԴԱԿበԻԹՅՈՒՆ

TUP b T US P 4 U	6.2
է. Ա. Դանիելյան, Ն. Ս. Զեմլյանոյ $- n_{pn_2} = M_r G_r _{1 > \infty}$ համակարգերում ապատման ժամահակների համատեղ թաշխման սահմանային թաշխումների դասը կրիտիկական ժան-	
րաբեռնվածության դեպքում	3
թյամբ Համակարգերում միավոր ծանրաբեռնվածության դեպքում	
Ֆ. Ա. Թալալյան — Համասեռ տարածությունների վրա տրված ինվարինտ չափերի մասին Դ. Հ. Մուrադյան, Տ. է. Փիլիպոսյան — Ուղղանկյուն ցանցի գագաթների մինիմալ Հա-	16
մարակալումներ	21
<u>ՖԻԶԻԿԱ</u>	
Դ. Մ. Սեղբակյան, Կ. Մ. Շահաթասյան <i>— Պրոտոնների հոսանքը նեյտրոնային աստ</i> -	
ղերի շորը»-ֆազում	23
հարմոնիկի իմպուլսների ժամանակային կառուցվածքը	33
фш	37
นบรานรายาน	
Հ. Ա. Հաrությունյան — Սպեկտրալ գծերի առաջացումը էքսպոնենցիալ բաշխվածու- Բյամբ աղբյուրներով մենոլորտում Գ. Տ. Պետով — 2-տիպի Սեյֆերտի գալակտիկաների և առաքման նեղ գծերով ռադիո-	41
գալակտիկաների միջուկների քիմիական բաղադրությունը և իոնների պարունակությունը . Ս. Դ. Իսկուդաrյան — լափանիշը	46 50
ԱՆԱԼԻՏԻԿԱԿԱՆ ՔԻՄԻԱ	
Վ. Մ. Թառայան, Ֆ. Վ. Միբզոյան, Ժ. Վ. Սաբզսյան, Ժ. Մ. Առստամյան—Հիմնային ևերկանյունի հետ իոնական ասոցիատի ձևով էքստրագվող քլորնալատ իոնի բաղադրու- թյան մասին .	56
ԱԳՐՈՔԻՄԻԱ	
Ա. Շ. Գալստյան, Ս. Ա. Աբrահամյան, Ե. Ն. Բ <mark>ադալյան</mark> — <i>Հումուսային նյութերի ֆեր-</i> ժենտային ակտիվության ուսումնասիրությունը	G 2

СОДЕРЖАНИЕ

математика	Стр
Э. А. Дониелян, Н. С Земляной — Класс предельных распределений совмест-	
ного стационарного распределения времен ожидания некоторых систем $M_{1} G_{1} _{20}$ в условиях критической загрузки 3. А. Данцелян, Г. А. Полов — Об одной предельной теореме для приоритетных систем при единичной загрузке Ф. А. Талалян — Об инвариантных мерах на однородных пространствах Д. О. Мурадян, Т. З Пилипосян — Минимальные нумерации вершин прямоугольной решетки	11 16
OH3HKA	
Д М Седракли, К М, Шахабасян — Протонный ток в «пре» фазе нентронных звезд А. О. Меликли, С. Г. Саакли—Временная структура разонаясно генерированных импульсов третьей гармоники Б. В Крыжановский — Резонансная флуоресценция на вмрожденных уровнях	28
АСТРОФИЗИКА	
Г. А. Арутюнян — Образованне спектральных ляння в атмосфере с виспонен- циальным распределением источников	40
АНАЛИТИЧЕСКАЯ ХИМИЯ	
В М. Тараян, Ф. В. Мирзоян, Ж В Саркисян, Ж. М. Арстамян — К осо- бенностям экстракции хлорталиат-энкона	, 56
RHMHXOQTA	
A Ш Галстям С. А. Абрамян E Н. Бадалян — Изучение ферментативной активности гумусовых веществ	. 61



CONTENTS

MATHEMATICS	P-
E. A. Daniellan, N. S. Zemilanoy-The class of limiting distributions for	
the joint stationary distribution of waiting times for some $M_1 G_2 1 \infty$ queues in beavy traffic	3
F. A. Talallan—On invariant measures on homogeneous spaces D. H. Mooradian, T. E. Piliposian—Minimal numberings of a rectangular lattice	11 16
PHYSICS	-
D. M. Sedrakian, K. M. Shahabasian—The protons current in the inperphase of the neutron stars A. O. Melikian, S. H. Sahakian—The temporal structure of resonantly ge-	28
nerated third harmonic pulses	33
B. V. Kryzhanousky-Resonance fluorescence from degenerate levels -	37
ASTROPHYSICS	
G. T. Petrov—The content of ions and chemical composition in the nuc- let of II type Seylert galaxies and narrow line radio galaxies • • • • •	41 46 50
ANALYTICAL CHEMISTRY	
V. M. Tarayan, F. V. Mirzoyan, Zh. V. Sarkissian, Zh. M. Arstamian — On the extraction of chlorthaliate anion • • • • • • • • • • • • • • • • • • •	56
A Sh. Galstian, S. A. Abrahamiun, E N. Budalian—Enzymalic activity	C.I.

Технический редоктор Л А АЗИЗБЕКЯН

ВФ 03198 Подписано к печати 3.1V.80 Тираж 510 Изд. 5195 Заказ 31 Формат бумаги 70×108_{1/10} Печ. л. 4. Буч. л. 2 Усл. печ. д. 5.67 Уч. изд. л. 4.34. LXX

1980

1

УДК 519217

MATEMATHKA

Э. А. Даниелян, Н. С. Земляной

Класс предельных распределений совместного стационарного распределения времен ожидания некоторых систем в условиях критической загрузки

(Представлено чл.-корр АН Армянской ССР Р А Александряном 10/VII 1979)

Кингман (1) предложил экспоненциальную аппроксимацию для стационарного распределения времени ожидания (в. о.) в системе массового обслуживания (СМО) М|СЛ1 три загрузке, приближающейся к единице слева (условие критической загрузки). Э. А. Даниелян получил аналогичные предельные теоремы сходимости к экспоненциальному распределению для СМО $M_r|G_r|1|\infty$ в случае дисциплин обслуживания с относительным приоритетом (схема А) и тремя разновидностями абсолютного приоритета (схемы В: с потерен прерванного вызова, дообслуживанием, обслуживанием заново) (*). В работе (3) был поставлен следующий вопрос. В приоритетных СМО $M_{c}|G_{c}|1|\infty$ только ли экспоненциальное распределение может служить в качестве предельного для стационарного распределения в о. в условиях критической загрузки? Ответ оказался отрицательным. Для схемы В с дообслуживанием прерванного вызова в СМО $M_r|G_r|1|\infty$ при r=2 в (3) и при r=3 в (4) получен класс предельных распределений для совместного условного стационарного распределения в. о, при критической загрузке при условии, что с момента отсчета в. о, прекращается доступ в систему вновь приходящих вызовов. Результаты даны в преобразованиях Лапласа - Стилтьеса (п. Л. - С.) и не во всех случаях обращены.

Цель настоящей работы заключается в получении класса предельных распределений для совместных безусловных стационарных распределений в. о. СМО для схем А и В в условиях критической загрузки при произвольном г.

В одноканальную СМО с ожиданием поступает г независимых пуассоновских потоков вызовов. Вызовы 1-го потока, называемые 1-

вызовами, поступают с интенсивностью $a_i > 0$. Длительности обслуживания вызовов независимы в совокупности. не зависят от процесса поступления и для i-вызовов имеют функцию распределения $B_i(-0) = 0$. Потоки пронумерованы в порядке убывания приоритетов. Вызовы одного и того же потока обслуживаются по дисциплине FIFO.

Под загрузкой ρ_{i1} (i=1, r) системы 1, i-вызовами понимается среднее время, требуемое для обслуживания 1, i-вызовов, поступающих в среднем за единицу времени. Значения как ρ_{i1} , так и величин ρ_{i2} (i=1,r), имеющих смысл суммы по индексу j (от 1 до i) произведения интенсивности a_j на второй момент длительности обслуживания j-вызова, для схем A и B приведены в (5). Мы говорим, что система нахолится в условнях критической загрузки, если $\rho=1-\rho_{i1}(1)$.

Пусть w_i (i 1, r)—стационарное в. о. i-вызова в схемах A и B: распределения $B_i(t)$ фиксированы и p_i : конечно. Задача состоит в описании класса всех предельных распределений для вектора (w_i , ..., w_i) при $o \downarrow 0$.

Предполагается выполненным следующее условие: Существуют пределы

$$c_k = \lim z_k \ (z_k = c_k/\rho_{k-1}, \ \rho_k = 1 - \rho_{k1}, \ R = \overline{1, r}).$$
 (4)

Из индексов 1, 2, . . , г выделим такие и только такие индексы

$$1 < p_1(=p) < p_2 < \ldots < p_m r.$$

для которых $c_{p_i} = 0$ (i = 1, m). Без ограничения общиости полагаем, что параметры первых p-1 потоков фиксированы.

Множество индексов (l = 1, m+1; $p_0 = 0, p_{m+1} = r+1$)

$$P_i = \{j : p_{i-1} \mid j < p_i\}$$

выделяет множество потоков с индексами j, для которых $c_j > 0$ ($j \in P_i$, $j = p_{i-1}$). Такое разбиение индексов на группы называем разбиением (•).

Пусть
$$\chi(t)$$
 — функция Хевисайда, $z(t) = \frac{1}{t} \frac{1}{4} + t - \frac{1}{2}$ ($t > 0$).

Для любого (EP)(i=2,m+1) определим функции и q_i

$$||f_{j-1}|| = c_{j-1} - 1, \quad \lambda_1 = c_{j} ||s_{j} + c_{j}||_{j-1} + \{1 - c_{j} - 1\}\},$$

$$||f_{j-1}|| = s_{p_{j-1}} + \{1 - c_{j} - 1\}, \quad \alpha_j = (1 - c_{j}) \varphi(e_{j}) + c_{j}^2 q_{j-1}$$

$$q_{p_{\ell-1}} = -i_{p_{\ell-1}}(1-i) + q_{p_{\ell-1}+i}\gamma(c_{p_{\ell-1}-i}).$$

с помощью которых зядается функция

$$\tau_{P_{l-1}} = \frac{\varepsilon_{P_{l}} \cdot (\overline{\varepsilon}(t_{P_{l-1}}))}{\overline{\varepsilon}(t_{P_{l-1}}) - \overline{\varphi}(q_{P_{l-1}})} \cdot \frac{\overline{\varphi}(t_{P_{l-1}}) - \overline{\varphi}(q_{P_{l-1}})}{\overline{\varphi}(t_{P_{l-1}}) \cdot 2(\varepsilon_{P_{l-1}-1})} \cdot \frac{\overline{\varphi}(t_{P_{l-1}}) - \overline{\varphi}(q_{P_{l-1}})}{\overline{\varphi}(t_{P_{l-1}-1})}.$$

Наконец положим (/ - 1, г)

$$w_j = w_j (\chi(p-j) + \chi(j-1-p) M w_j)^{-1}$$

где М-знак математического ожидания.

Теорема 1. Пусть р 10, имеют место условие (=) и разбиение (•). Тогой существует предел

$$\lim_{p \to 0} P\{w_i < x_i (j = 1, r)\} = P\{w_i < x_i (j = 1, p - 1)\} \prod_{n=2}^{\infty} \lim_{p \to 0} P'w_i < x_i (j \in P_n)\},$$

где первый сомножитель правой части равенства есть совместное стационарное распределение $W(x_1,\ldots,x_{p-1})$ вектора (w_1,\ldots,w_{p-1}) в рассматриваемых СМО только с первыми p потоками при $p_p = 1$, а предельное распределение случайных величин w группы P (n=2,m-1) имеет многомерное n, A.—С. $\{1,\dots,2n-1\}$

Дадим качественное описание этой предельной теоремы. Пусть

$$z(x, y) = \begin{cases} x, & для \ \text{схемы } A, \\ y, & для \ \text{схем } B, \end{cases}$$

тогда (см. (2))

$$Ma^{i_1} = \frac{3(p_{i2}, p_{i2})}{p_{i-1}p_{i}}$$

откуда следует, что Mw, при р 10 ограничено, если i < p и стремится к бескопечности при $l \gg p$.

По перявенству Чебышева: $P|w_h>_3|<\epsilon^{-1}Mw_h$ ($\epsilon>0$), можно заключить, что при ρ , 0 случайная величина w_h (k=1, p-1) является собственной, чем и объясняется отсутствие нормировки в. о. группы P_1 в предельной теореме. А для w_h при $k=\mu$ и ρ , 0 естественной нормировкой служит Mw_h .

каждой группы P_n (n>1) и только он характеризуется тем, что загрузка 2_n системы вызовами этого потока составляет "существенную" часть остатка $1-|\rho(P_n)+\dots+\rho(P_{n-1})|$. Таким образом 2_n составляет главную часть $\rho(P_n)$ (n>1). Вспомним, что загрузка системы k вызовами есть стационарная вероятность того, что обслуживается k вызов. Из сказанного следует, что каждый вызов потока группы P_n (n>1) по отношению к вызовам потоков группы P_{n-1} находится в условиях критической загрузки "более высокого порядка". В частности поток с номером p является первым потоком, находящимся в условиях критической загрузки.

Теперь приведем простые соображения в пользу установленной в теореме асимптотической независимости при р 10 совместных распределений нормированных в. о. вызовов из разных групп.

Обозначим — математическое ожидание длительности il-перкода (i=1,r) (см $(^3)$). Математическое ожидание той части w, (i=p,r), которая определяется величиной равно:

$$Mw_{i-1}(1+a_{i-1}z_{i-1})=z_{i-1}^{-1}Mw_{i-1}.$$

Отсюда и из формулы для Mw_i следует, что математическое ожидание указанной составляющей, которая пронормирована величиной Mw_i , в пределе при $o \downarrow 0$ равно нулю, если $c_i = 0$. В противном случае $(c_i > 0)$ вклад в мет величины w_i в пределе при $o \downarrow 0$ имеет порядок Mw_i .

Итак, обращению подлежат п. N - C. распределений, соответствующих каждой отдельной группе P_n ($n = \overline{1, m+1}$).

Следствие 1. В условиях георемы 1 при $c_i = 0$ (i = 1, r)

$$\lim_{p \downarrow 0} P | \hat{w}_{j} < x_{j} (j - \overline{1, r}) | = \prod_{j=1}^{n} E(x_{j}).$$

Здесь

$$E(x) = \begin{cases} 1 - e^{-x}, & x > 0, \\ 0, & x < 0. \end{cases}$$

Приведем полное обращение п. Λ .—С. предельных распределений в случае r=3, чему предпошлем обозначения.

Пусть $(x, y, z > 0, a, b \in (0, 1))$

$$D(x, y) = \frac{1}{2\sqrt{\pi}} \int_{0}^{\pi} \int_{0}^{\pi} uv^{--} \exp\left[-\frac{u}{2} - \frac{v}{4} - \frac{u^{2}}{4v}\right] du dv,$$

$$B_{n}(x,y) = \frac{\sqrt{a(1-a)}}{4} \int_{1-a}^{\infty} \int_{1-a}^{1} tw^{-\frac{3}{2}} \exp\left\{\frac{t(2a-1)}{4(1-a)} - \frac{w}{4a}\right\}$$

$$\int u(u-t)^{-\frac{1}{2}} \exp\left\{\frac{u(1-2a)}{4(1-a)} - \frac{u^2a}{4w} - \frac{t^2(1-a)}{4(u-t)}\right\} du dt dw.$$

{t_n}_{n>1}—последовательность независимых одинаково распределенных случайных величии с плотностью распределения

$$g_a(t) = \chi(t) \sqrt{\frac{2}{\pi(1-a)}} \left(\frac{1}{\sqrt{t}} e^{-\frac{1}{2(1-a)}} - \frac{1}{2(1-a)} \int \frac{1}{\sqrt{v}} e^{-\frac{1}{2(1-a)}} dv \right)$$

v > 0 — целочисленный индекс, не зависящий от имеющий геометрическое распределение: $P\{v=k\} = a($ 0).

Обозначим $\Phi_{a}(t) = P \{\xi_{1} + \ldots + \xi_{r} < t\}$ н

$$Q_{a}(y) = 1 - \int_{0}^{y} u^{-\frac{1}{2}} e^{-\frac{1}{4a}} \int_{0}^{y} v e^{v^{-\frac{1}{2}}} d\Phi_{a}(v) du.$$

На основе обозначений

$$z_{a,b}(y,z) = \chi(z-aby) \exp\left\{\frac{y}{4} \left(2-a-\frac{1}{a}\right) - \frac{z}{4b}\right\} (ab)^{-1},$$

$$z_{a}(y,z) = \chi(z-ay) z(y(1-a), z-ay) \exp\left\{\frac{y(2-a)-z}{4}\right\}$$

$$z_{a}(y,z) = \frac{y}{2z\sqrt{zz}} \exp\left(-\frac{y^{z}}{4z}\right).$$

функции U_a , S_a , C_a , $G_{a,b}$, $Q_{a,b}$ определяются равенствами

$$\frac{\partial^2 U_{a}(y,z)}{\partial y \, \partial z} = \frac{1}{2} (y,z) \frac{\partial \Omega_{a}(y)}{\partial y} \frac{\partial^2 S_{a}(x,y,z)}{\partial x \, \partial y \, \partial z} = \frac{1}{2} (y,z) \frac{\partial^2 B_{a}(x,y)}{\partial x \, \partial y}$$

$$\frac{\partial^2 G_{a,b}(y,z)}{\partial y \, \partial z} = \frac{1}{2} \gamma (z - ay) \gamma (x,y) \exp \left[-\frac{1}{4a} \right].$$

$$\frac{\partial^2 G_{a,b}(y,z)}{\partial y \, \partial z} = \frac{1}{2} \gamma (y,z) \left[\gamma \left(1 - a \right) - w (1 - b), \frac{1}{b} - ay \right].$$

$$\exp\left\{\frac{w(1-2b)}{4}\right\}\int_{0}^{v}\exp\left\{\frac{v(1-a)}{2a}\right\}v\left(\frac{v}{a},\frac{y}{a}\right)v(v,w)dvdw,$$

$$\frac{\partial^{a}Q_{a,b}(x,y,z)}{\partial y\,\partial z} = \tau_{a,b}(y,z)\int\limits_{0}^{z}\exp\left(\frac{\varpi(1-2a+2a^{2}(1-b))}{4}\right)\psi(x,\varpi).$$

$$\psi\left(a^{2}(1-b)w+(1-a)y,\frac{z}{b}-ay\right)\int_{0}^{y+a}\psi(x,v)\psi\left(w(1-a),\frac{y}{a}-v\right)dvdw.$$

Теорема 2. Задаваемое теоремой 1 предельное распределение в случае трех входящих потоков для схем A и B имеет вид $(x_i \ge 0, x^{(i)} == (x_1, \dots, x_i), i = 1, 3; a, b \in (0, 1))$:

где и означает свертку по x_i (i=2.3).

Доказательство теоремы 1 основано на получаемых введением дополнительных событий п. Л.—С. распределений вектора (w_1 , ..., w_n) при фиксированной загрузке $\rho_n < 1$. В соответствии с теоремой 1 производится нормировка параметров этих п. Л.—С. и совершается предельный переход, когда $\rho \downarrow 0$. При этом проводятся асимптотические разложения, которые базируются на приводимых ниже важных (и не только в нашем случае) разложениях в окрестности нуля функций ρ_{n+1} , ρ_n (ρ_n).

Теорема 3. Пусть р 10 и выполнено условие (•). Тогда (Res>0):

1) при
$$c_k = 0$$
 $(k = \overline{\rho}, r)$ $(c_h/\rho_{h-1}) - \mu_h(c_h) \sim s_h c_h b_{h-1} s^2$, $(c_h/\rho_{h-1}) - \mu_h(c_h) \sim s_h c_h b_{h-1} s^2$, $(c_h) \sim s_h (c_h) \sim (k = \overline{\rho}, r)$ $(c_h/\rho_{h-1}) - (c_h/\rho_{h-1}) \cdot (c_$

3) при се 0, сент () (k p 1, r) вид разложений иля цел и сохраняется (см. 2)), а

$$y_{a}(v_{b}) - v_{b} - v_{a} = y_{a}(1 - z_{a}) \wedge (z_{b})$$

причем в 2) и 3) вид разложений для $y_h(v_t)$ сохраняется и при $c_{h-1} = 0$ $(k = \overline{p, r})$.

Здесь обозначено (k = p, r):

$$b_{\mu} \sim \omega_{\mu} = \omega_{\mu}, \quad v_{\mu} \sim s_{\nu_{\mu}}, \quad \Lambda(s) = b_{\mu}^{-1} \circ (sb_{\mu})$$

Доказательство этой теоремы проводится рекуррентно.

При доказательстве теоремы 2 используется формула обращения (23.91) из (*).

І реванский госу арственный университет Ереванский НИИ математических машия

t u bushelsus, to a shulluns

Ուրչ .Կ,|G,|!|∼ համակաբգեւում սպասման ամակակերի համատեղ բայիոման սահմանային բաշխումնեւի դասը կւիտիկական ծանւաբեռնվածության ղեպքում

The superpart is superparted in the superpart of the superpart $G_{i}(G_{i}) = G_{i}(G_{i}) = G$

անտեր w_{n} -ավ (k=1,r) k-աստանցի ապասման ստացիոնար ժաժանակը [-IFO ապասարկման դիսցիպլինալի դեպքում իսկ լ-ով 1, k-պահանձնրավ անտարի ժանրա

հետա իրատարար բոլոր ակարարի արանում են ֆունիցիա և 1, k-պաշանանների սպասարկման մամանակների տրաբին երկա մոմենտներից։

1, k-պաշանների սպասարկման մամանակների տրաբին երկա մոմենտներից։

2, k-պաշանների սպասարկման մամանակների արաբին երկա մոմենտներից։

$$c_k = \lim_{\substack{t_{p_1} \in I}} \frac{1 - c_{k-1}}{1 - c_{k-1}}, \quad \lim_{\substack{t_{p_1} \in I}} \cdots$$

Then $p \in_1 C_2, \ldots, C_r$ by the parameter C_{p_1} by the p_2 (i=1,m,m=1,r) to the parameter C_{p_1} by the C_{p_2} by C_{p_2} C_{p_3} C_{p_4} C_{p_4} C_{p_4} C_{p_5} C_{p_4} C_{p_5} C_{p_5

$$X^{(n)} = (X_{p_n}, \dots, X_{p_{n+1}-1}), \quad X^{(n)} = (X_1, \dots, X_{p_1-1}).$$

ատոսան հայաստանություն ունի սահման

$$\lim_{r \to 1} P(w_i < x_i, w_j < x_j Mw_i, (i = 1, j = 1; j = \overline{p_1, r_j}) = \prod_{u = 0} S_u(x^{(u)}),$$

որտեղ $S_{a}(x^{r-1})$ -ները՝ բազմայափ բաշիսման խունկցիաներ են։

Lyginsoner and the $S_u(x^{(n)})$ -beh (u=0,m) importantly in the state of the st

ЛИТЕРАТУРА— ЭГЦЧЦЪПЬР 5 ПЬЪ

² J. F. C. Kingman, Proc. Camb Phil. Soc., 57 (1961). ² Б. В. Гнеденко и др., Приоритетные системы обслуживания, Изд МГУ, М, 1973. ³ Т. А. Азларов, Я. М. Хусаинов, Изв. АН Уз. ССР, сер. физ. мат. изук, № 6 (1974). ⁴ Я. М. Хусаинов, О пределениях для длительности времени ожидания приоритетных систем в условиях большой загрузки, Рукопись деп. в ВИНИТИ 25 окт. 1977 г., 4106—77 Деп. З. А. Даниелли, Изв. АН Арм. ССР, сер. мат., т. 10. № 3 (1975). ⁶ В. А. Диткин, 4. П. Придников, Справочины по операционному исчислению, «Высшая школа» М. 1965

LXX

1980

1

УДК 519 217

MATEMATHKA

Э. А. Даниелян, Г. А. Попов

Об одной предельной теореме для приоритетных систем при единичной загрузке

(Представлено чл.-корр АН Армянской ССР А А Талаляном 20/VII 1979)

Тематика, посвященная асимптотическому изучению систем массового обслуживания в условиях загрузки, близкой или равной единице, начата Ю. В. Прохоровым (1), Кингманом (2) и продолжается в работах А. А. Боровкова (2), Иглегарта (4) и др.

Особого внимания заслуживает случай единичной загрузки. Известно, что при загрузке, равной единице, период занятости π однолинейной системы с ожиданием является при довольно общих предположениях собственной случайной величиной (сл. в.). С другой стороны, при $t \to +\infty$ виртуальное время ожидания (в. в. о.) в момент t стремится при единичной загрузке к $+\infty$ (3).

Возникает вопрос об асимптотическом поведении условного в. в. о. в момент t при условии — когда — Заметим, что вероятность условия в нашем случае стремится при $t \rightarrow -\infty$ к нулю

Рассматриваются одноканальные системы с ожиданием, с r независимыми пуассоновскими потоками L_1, L_2, \ldots, L_r вызовов при дисциплинах относительного приоритета и разновидностей абсолютного, описание которых можно найти в (3). Внутри каждого потока вызовов принята дисциплина FIFO (первым пришел — первым обслужен).

Суммарный поток 1-вызовов, . . . , k-вызовов называем потоком 1,k-вызовов (k-1,r). Вызовы потока L_i назовем i-вызовами (i=1,r).

Длительности обслуживания вызовов из потока L_i (i=1,r), интенсивность поступления которых равна $a_i>0$, не зависят от процесса поступления, незанисимы в совокупности и имеют функцию распределения (ф. р.) $B_i(t)$, $B_i(+0)=0$.

Разповидности абсолютного приоритета следующие: схема B1—дообслуживание прерванного вызова, B2 потеря, B3—обслуживание запово. Относительный приоритет называем схемой A.

Пусть и момент l = 0, в который в системе отсутствуют вызоны,

время u>0 прибор заперт для обслуживания, т. е. за [0,u) вызовы накапливаются, но не обслуживаются. Обозначим через $\pi_{k'}u$) первый после u момент освобождения системы от $\overline{1,k}$ -вызовов.

Пусть $\mathbf{w}_{t}^{(n)}(t)$ есть в. в. о. k-вызова и момент t.

Введем следующие обозначения

$$F_{k}(x, t) = P_{k}w^{(u)}(t) \langle x, \pi_{k}(u), t \rangle,$$

$$R_{k}(x, t) = P_{k}w^{(u)}(t) \langle x/\pi_{k}(u) \rangle t = \frac{F_{k}(x, t)}{F_{k}(-\infty, t)},$$

$$f_{k}(x, \mu) = \int e^{-ut} \left| e^{-xx} d_{x} F_{k}(x, t) d\mu, \pi^{(u)}(u) = Me^{-ut} \right|$$

В дальнейшем используются сл. в.: k-период (π_k), kk-период (π_k) и k-цикл (h_k), определения и изучение которых можно найти в (5).

Положим
$$(k = 1, r; Re \ge 0)$$
:

$$\Pi_k(t) = P = \{ 1, r_k = a_1 + \dots + a_R, r_0 = 0. \}$$

$$V_{k+1}(s) = s + s_k - s_k Me^{-s_k}, \ V_k(s) = s + a_k - a_k Me^{-s_k},$$

$$V_k(s) = s - a_k + a_k Me^{-s_k}.$$

где .И — знак математического ожидания.

При изучении систем массового обслуживания важную роль играет загрузка системы. Под загрузкой ρ_{k_1} системы 1, k-вызовами понимается среднее время, затрачиваемое из единицы времени прибора на обслуживание 1, k-вызовов, поступающих в среднем за единицу времени. Как величины ρ_{k_1} (k=1,r), так и величины ρ_{k_2} —аналоги вторых моментов обслуживания, помноженных на интенсивности их потоков, найдены в (3).

Приведем испомогательные утверждения.

Лемма 1. Справедлива формула

$$f_k(s, y) = (y - y_k(s)) | e^{-y_k(s)} | (k=1, r; Res \ge 0, Rey > 0).$$

Пусть выполнено следующее условие: (I_k) в схемах A и В1 для $I_{\ell}(s) = I_{\ell}(s) = I_{\ell}(s)$ при s = 0 (Re $s \ge 0$) справедливо представление

$$\beta_i(s) = 1 - \beta_{i,0} - z_i^{(3)} s'\omega(1 + O(1)) \quad (1 < \omega < 2), \tag{1}$$

где 3/1 и а/3) — константы:

в схемах B2 и B3 (1) имеет место лишь при i=1. Положим (k-1,r):

$$\rho_k = 1 - \rho_{k_1}, \ \gamma_k = \min(\gamma_{(1)}, \ldots, \gamma_{(k)}), \ B = \sum_{i \in \mathcal{A}_i(2^{i+1})} a_i 2^{i+1}.$$

Для схем В2 и В3 полагаем (k=2,r): $B_k=B_k$

Лемия 2. Для всех рассматриваемых схем при s -0 (Res≥0) имеем:

a) npu $2k_1 < 1$

$$|C_{R}|^{-1}(S) = o_{1}^{-1}S$$
 $|C_{R}|^{-1}(1 - o(1)),$

 $y_k(s) = (p_{k-1}/p_k)s - p_k^{-1}(1+2)[p_{k-1}C_k - p_kC_{k-1}\chi(\gamma_k - \gamma_{k-1})]s^{\gamma_k}(1-o(1)).$

ine (i == 1, k)

$$C_l = \begin{vmatrix} B_l, & ec. u & \gamma_i < 2. \\ 2\gamma_{i2}, & ec. u & = 2. \end{vmatrix}$$

а 7(t) есть функция Хевисайда

$$\gamma(t) = \begin{cases} 1, & ecau \\ 0, & ecau \\ t & 0. \end{cases}$$

6) $npu p_{k_1} = 1$

$$v_h \cdot v(s) = C_h^{-1/\gamma_h s^{1/\gamma_h}} (1 - o(1)).$$

$$y_k(s) = o_{k-1}C_k^{-1/\tau_k}s^{1/\tau_k}(1 - o(1)).$$

Доказательство основного результата базируется на утверждении (ср. с леммой Лебега — Римана (4)):

Лемма 3. Пусть функция $g(x, s), x \in (---, \infty), s \in [0, \infty)$ непрерывна по совокупности переменных (x, s) и пусть существует функция $f(x), x \in (-\infty, \infty)$, такая, что

$$\int f(x)dx < - \sup_{s \in \mathbb{N}, -1} |g(x, s)|$$

Если

$$\lim_{s\to +\infty} \sup |g(x, s)| = 0,$$

то равномерно по $s \in [0, \infty)$

$$\lim \int e^{izx}g(x,s)dx = 0.$$

Для формулировки основных результатов положим (k = 1, 7):

$$D_k == g_{k-1}^{-1} C_k^{(i)}$$

Теоремя 1. Пусть $p_{k_1}=1$ и для всех рассматриваемых схем выполнены условия (1_k) . Тогои

$$\lim R_k(D_k t^{\text{trax}}, t) = R_k(x),$$

2de (Re s≥0)

$$\int_{0}^{\infty} e^{-ix} dR_{k}(x) = \frac{1}{\Gamma(1/\gamma_{k})} \int_{0}^{\infty} \frac{\mu^{1/\gamma_{k}e^{-\mu}}}{\mu + S^{1/2}} dx.$$

а І (а) – гамма-функция Эйлера.

Следствие 1. Пусть выполнены условия теоремы 1 и и есть сл. в. с $Mu^{1+1/m} < \infty$. Тогда утверждение теоремы 1 опять имеет место.

Следствие 2. При r=1 из теоремы 1 автоматически вытекает основной результат работы (*), доказанный при более сильных ограничениях, чем условия теоремы 1.

Теорема 2. а) Функция $R_k(x)$ при $\gamma_k = 2$ есть распределения Рэлея

$$R_k(x) = \begin{cases} 1 - \exp(-x^2 4), & \text{если } x \ge 0, \\ 0 & \text{если } x < 0, \end{cases}$$

a при $1 < \tau_k < 2$ ф. р. R_k (x) равна

$$R_k(x) = \frac{7k}{2\Gamma(\gamma^{-1})} \int G_{\gamma_k|\gamma}(xt^{-2|\gamma_k}) dF_k(x),$$

206

$$F_k(x) = \int e^{-u^{\gamma_k}} [1 - \cos(u^{\gamma_k/2}t)] du,$$

а $G_{\bullet}(x)(0 < a < 1)$ есть стандартный положительный устойчивый закон с показателем 2.

б) Момент порядки =>0 предельного распределения $R_k(x)$ (k=1,r) имеет вио

$$\int x^{2}dR_{k}(x) = \begin{vmatrix} 1 & & & & \\ 1 & & & \\ 1 & & & \\ 1 & & \\ 1 & & \\ 1 & & & \\ 1 & & & \\ 1 & & & \\ 1 & & & \\ 1 & & & \\ 1 & & & \\ 1 & & & \\ 1 & & & \\ 1 & & & \\ 1 & & & \\ 1 & & & \\ 1 & & & \\ 1 & & \\ 1 & & & \\ 1 & & & \\ 1 & & & \\ 1 & & & \\ 1 & & & \\ 1 & & & \\ 1 & & & \\ 1 & & & \\ 1 & & & \\ 1 & & & \\ 1 & & & \\ 1 & & & \\ 1 & & \\ 1 & & & \\ 1 & & & \\ 1 & & & \\ 1 & & & \\ 1 & & & \\ 1 & & & \\ 1 & & & \\ 1 & & & \\ 1 & & & \\ 1 & & & \\ 1 & & & \\ 1 & & & \\ 1 & & \\ 1 & & & \\ 1 & & & \\ 1 & & & \\ 1 & & & \\ 1 & & & \\ 1 & & & \\ 1 & & & \\ 1 & & & \\ 1 & & & \\ 1 & & & \\ 1 & & & \\ 1 & & & \\ 1 & & \\ 1 & & & \\ 1 & & \\ 1 & & \\ 1 & & \\ 1 & & \\ 1 & & \\ 1 & & \\ 1 & &$$

Здесь $m(\beta, \alpha)$ момент порядка β от ϕ . p. $G_{\bullet}(x)$.

Теорема 3. Если выполнены условия (1_k) и 2, то справеоливы асимптотические при $t \to +\infty$ равенстви:

а) при $n_{k_1} < 1$

$$\frac{e^{-(\tau_k+1)}\cdot C_k}{\|\sin(\pi_{1k})\|^{1}(\tau_k)t^{-\tau_k}(1+O(1))},$$

6) $npu p_{k_1} = 1$

$$1 - \Pi_{h}(t) = \frac{\sigma_{h}^{-1}C_{h}^{-1}\Pi_{h}}{\Gamma(1 - \gamma_{h}^{-1})} t^{-1}\Pi_{h}(1 + O(1)).$$

Ереванский государственный университет Вычислительный центр Академин наук Армянской ССР

է Ա. Դևեժակնևե, Գ. և ՎՈՎՈՎ

Մեկ սահմանային թեունկի մուսին նախապատվությամբ ճամակա<mark>շգի</mark>բու<mark>մ</mark> միավու ծանշաբեռնվածության դեպքում

Դիտարկվում են հարարերական և տարրերակներով բացարձակ ճախապատվու $m{ heta}$ լամր $ar{M}_{r}[G_{r}]$ է համակարդեր FIFO դիսցիպլինայի դեպքում։

Միցուք = (u)(k = 1, I, u)(1)(1, k - u) արտնանջների u ուշացուժով գրադականության կաժության արտնան և իսկ $w_{a}^{(a)}(t)$ -ն t արտնին k-արտնանջի u-արտուտ սպասման ժամանակր։ Նշանակենք

$$R_h(x, t) = P[w_h^u(t) < x/\pi_h(u) > t].$$

ρεβωηρερ ωμη περ ζεωμίωι Αρμίωσω βίωτρω (t=1,r,s+0,s>0)

$$\beta_i(s) = 1 - \beta_i s + B_i s \pi (1 + o(1)) \quad (1 < \gamma_i < 2),$$

որտեղ՝ ֆլ(s)-ը լ-պահանջի սպասարկման մամանակի րաշխման (ապլաս-Ստիլտեսի ձևափողությունն էւ Հիմնական արդլունքը հետևյալն էւ

** Հավասար և մեկի։ Այդ դեպքում գոյություն ունի սանման

$$\lim_{t\to\infty} R_h(D_h t^{1/\eta_h} x, t) = R_h(x),$$

որսւեղ՝

$$\int_{0}^{\infty} e^{-s\tau} dR_{h}(x) = \frac{1}{\Gamma(1/\gamma_{h})} \int_{0}^{\infty} \frac{1}{\mu + s\tau_{h}} d\mu \quad \gamma_{h} = \min\left(\gamma_{(1)}, \ldots, \gamma_{(h)}\right)$$

իսկ Ր(x)-ը՝ էյլնրի զամմա-ֆունկցիան ե։ Աշխատանքում դանված են նաև և և մեծությունները։

ЛИТЕРАТУРА — ЭГЦЧЦЪПКРВИКЪ

¹ Ю. В Прохоров, Лит. мат сборник, № 3, 1963 ² Л. F. Kingman, The heavy traffic approximation in the theory of queues, Proc. symp. congestion theory. The liniv. of North Carolina Press. 1955. ³ А. А. Боровков, Вероитностиме процессы в теории массового обслуживания, "Наука", М., 1972. ⁴ D. L. Iglehart, W. Whitt. Adv. appl. prob., vol. 2, № 1 (1970); vol. 2, № 2 (1970). ³ Э. А. Даниелян. Изв. АН Арм. ССР Математика, № 3, 1975. ⁴ В. Феллер. Введение и теорию пероитностей и ее приложения, т. 2, "Мир", М., 1967, ¹ Х. А. Арипов, А. В. Печинкии, Груды III Всесоюзноя школы-совещания по теории массового обслуживания, т. 2, МГУ, 1976.

LXX 1980

V.7K 519 46

MATEMATHKA

Ф. А. Талалян

Об инвариантных мерах на однородных пространствах

(Представлено чл -корр. АН Армянской ССР А. А. Талаляном 17/IX 1979)

Настоящая работа посвящена перенесению на однородные пространства следующих фактов о мере Лебега.

Теорема (Штейнгвуз (1)) Пусть E – измеримое множество положительной лебеговой меры в R^{1} . Тогда разностное множество E-E содержит окрестность нуля.

Теоремя (Хадвигер (2)). Пусть E –иммеримое множество положительной лебеговой меры в R^2 . Тогой оля любого $^2>0$ и натурального числи n>1 существует такая окрестность нуля V, что оля любого множества $A \subset V$, состоящего из n точек,

$$m|z \in R^*: z + A \subset E \} > (1-\varepsilon)m(E),$$

гое т-мера Левега в К.

Пусть X—локально компактное хауслорфово пространство, G—локально компактная группа, действующая слева непрерывно и транзитивно в X. Предположни еще, что при любом $x \in X$ $g \rightarrow g x$ является открытым отображением G на X. Тогда говорят, что X есть однородное пространство для G. Пусть $0 \in X$ —произвольная (в дальнейшем фиксированная) точка, G^0 —изотропная подгруппа точки 0, τ , е. $G = \{g \in G : g \in S\}$, и $g \in S$ —левая мера Хаара группы G^0 . Согласно теореме Рисса, каждой положительной регулярной борелевской мера и G такая, что

$$\int_{X} ds \int_{S^0} f(gs) dy_0(s) = \int_{S} f ds \tag{1}$$

для любой непрерывной на G функции f с компактным носителем При этом ((3), стр. 127) и будет G-инвариантной тогла и только тогда, когда и является левой мерой Хаара группы G.

Пусть $B, C \subset X$. Следуя (1), положим

$$B^{-1}C = U\{gC: g \in G, \theta \in gB\}$$

Заметим, что изменение выбора точки вызывает сдвиг множества B C и переход G к сопряженной подгруппа. Заметим также что в том случае, когда G действует в G как группа левых сдвигов и в совпадает с единицей G, то $B^{-1}C$ приобретает обычный групповой смысл.

Всюду в дальнейшем предполагается, что изотропная подгруппа G^{\bullet} компактия и 1. Тогда из условия Вейля следует, что на X существует положительная регуляриая G-инвариантная борелевская мера, определенная с точностью до постоянного множителя.

Обозначим $g \in G$. Ниже доказываются две теоремы. В теореме I устанавлинаются некоторые свойства инвариантной меры, которые используются при доказательстве теоремы 2.

Теоремя 1. Пусть и и μ -положительные регулярные борелевские меры соответственно на X и G, связанные соотношением (1). Тогда

- 1) если $K^-X \kappa$ омпактное множество, то $\phi^{-1}(K)$ также компактно и $\mu(\phi^{-1}(K)) = \lambda(K)$;
- 2) если группа G э-компактна, то $\mu(\mathfrak{p}^{-1}(E)) = i(E)$ оля любого измеримого $E \subset X$.

Доказательство. Пусть $C \subset G$ —компактное множество, такое, что $\varphi(C) = K$ ((5), стр. 28). Тогда $\varphi^{-1}(K) = CG^0$. Таким образом $\varphi^{-1}(K)$ является произведением компактных множеств и поэтому компактно.

Пусть, далее, $\chi_{\mathcal{E}}$ —характеристическая функция множества \mathcal{E} . Тогда в силу компактности $\mathfrak{P}^{-1}(K)$ имеем $\chi_{\mathfrak{P}^{-1}(K)} \in L^1(\mathfrak{p})$. Отсюда, в свою очередь, следует равенство ((1), стр. 130)

$$\int_{K} dt \int_{\mathbb{R}^{n}} \chi_{q-1(K)}(gs) d\mu_{1}(s) = \int_{\mathbb{R}^{n}} \chi_{q-1(K)} d\mu = \mu(q^{-1}(K)). \tag{3}$$

С другой стороны имеем

$$g^{-1} \varphi^{-1}(K) = \begin{cases} G^{\bullet} \text{ если } g^{\bullet} \in K \\ \emptyset \text{ если } g^{\bullet} \in K. \end{cases}$$
 (4)

Действительно. Пусть $g\theta \in K$. Тогда $^{1}(K)$ и для любого $s \in G^{0}$ имеем $gs\theta = g^{-1}(K)$ откудя $gs \in \mathfrak{P}^{-1}(K)$ Поэтому $s = g^{-1}(K)$, т. е. Обратно, если $g^{-1}\mathfrak{P}^{-1}(K) \cap G^{0} \neq \emptyset$. Тогда $g = ts^{-1}$, $g = ts^{-1}$, $g = ts^{-1}$, $g = ts^{-1}$, $g = ts^{-1}$.

Теперь, с помощью (4), левую часть равенства (3) можно пре-

образовать следующим образом:

$$\int dx \int \chi_{\theta^{-1}(K)}(gs)d\mu_{\theta}(s) = \int dx \int \chi_{\theta^{-1}(K)}(s)d\mu_{\theta}(s) \Longrightarrow$$

$$= \int \mu_{\theta}(g^{-1}e^{-1}(K)\cap G^{0})dx = \int \chi_{K}(g^{\theta})dx = \iota(K)$$

$$= 17$$

Ballet DOD and INDUNATION OF THE PARTY OF TH

Из (3) и (5) получаем равенство $\mu(\phi^{-1}(K)) = \lambda(K)$.

Таким образом 1) доказано. Перейдем к доказательству 2). Пусть группа G \mathfrak{p} -компактна. Тогда имеем

$$\mu(\mathfrak{p}^{-1}(E)) = \sup \{ \mu(C) : \subset \mathfrak{p}^{-1}(E), C - \text{компактно} \}.$$
 (6)

В силу доказанного утверждения 1) из (6) получим

$$u(C) \quad \mu(\varphi^{-1}(C\theta)) = \lambda(C\theta) \quad \lambda(E) \quad \text{при} \quad C \subset \varphi^{-1}(E).$$
 (7)

Из (6) и (7) получим

$$\mathfrak{P}(\mathfrak{P}^{-1}(E)) \leqslant \mathfrak{P}(E). \tag{8}$$

С другой стороны имеем

$$\iota(E) = \sup \iota(K) : K \subseteq E, K - \text{компактно}.$$
 (9)

Еще раз применяя 1), из (9) получим

$$\iota(K) = \mu(\varphi^{-1}(K)) \leqslant \mu(\varphi^{-1}(E))$$
 при $K \subset E$. (10)

113 (9) и (10) получим

$$\iota(E) \leqslant u(\varphi^{-1}(E)). \tag{11}$$

Наконец из (8) и (11) получим равенство $\mu(\gamma^{-1}(E)) = \lambda(E)$.

$$\mu(g \in G: gA \subset E) > (1-\epsilon)^{\mu}(E).$$

Доказательство. В силу регулярности меры λ можно подобрать такое компактное множество $K \subset X$, чтобы

$$K \subseteq E$$
 (12)

$$r(K) > \frac{1-\varepsilon}{1-\varepsilon/2} r(E). \tag{13}$$

В силу теоремы 1 множество $\phi^{-1}(K)$ компактно и $\mu(\phi^{-1}(K)) = -\iota(K)$. Возьмем такое открытое множество $\Omega \subset G$, чтобы

$$e^{-1}(K) \equiv O_{*}\mu(O) < \left(1 + \frac{\varepsilon}{4n}\right)\mu(\varphi^{-1}(K)).$$
 (14)

Далее, возьмем симметричную окрестность V единицы G, такую, чтобы выполнялись условия

$$9^{-1}(K)V \subset O; \tag{15}$$

$$\Delta(g) > 1 - \frac{1}{4n} \quad \text{при} \quad (16)$$

где 4--модуляривя функция группы G.

Наконец, положим $W=V\theta$. Так как $g=g\theta$ есть открытое отображение, то W является окрестностью точки θ в X. Покажем, что построенная окрестность является искомой. Пусть A=W, $A=\{x_1,\ldots,x_n\}$ Тос за для любого $l=1,\ldots,n$ $x_n=g$ где $g \in V$ и

$$\{g \in G : gA = K\} = \{g \in G : gg \in \varphi^{-1}(K), i = 1, ..., n\} = \bigcap_{i=1}^{n} \varphi^{-1}(K)g_{i}^{-1}$$
 (17)

Применяя последовательно (12), (17), (15), (14), (16) и (13), будем иметь

$$||g| = ||g| + ||g| +$$

что и требовалось.

Следствие. Если $E^- X - измеримое множество с <math>0 < \iota(E) < \infty$, то $E^{-1}E$ содержит окрестность 0.

Действительно. Пусть W—окрестность θ , построенная согласно теореме 2 при n=2. Возьмем произвольную точку W. Тогда множество W имеет положительную меру и поэтому не пусто. Пусть $gw \in E$ и $g\theta \in E$ при некотором $g \in G$. Тогда $W \in E$ и $G \in E$ при некотором $G \in G$. Тогда $W \in E$ и $G \in E$ и $G \in E$ при некотором $G \in G$.

Ереванский государственный упиверситет

s u pullitaire

Համասես տաբածությունների վբա տոված ինվաբիանտ բափերի մասին

րույր գրափսխություրսվ ահատատարերել անվաց մետիաց չափի ետոժղությար Տեմարայն՝ սետրվությաւրբենով։ Ձույն է անվաց՝ սն իտղայարաց թը (բերժի Հափի սնսչ Հատիսւթյաւրբենով։ Ձույն է անվաց՝ սն իտղայարաց թրար սւրի ատևացունվում է՝ սն իսպատարերել անվաց մետիան ուրբնական իրանալայի կանգլի է մեջ։ Այդ ձևափոխությունների բազմության Հաարի չափի համար ստացված

Նշված արգյունքից որպես մասնավոր դեպքեր ստացվում են Շտեյն-Հաուզի և Հաղվիդերի Թեորեմները

ЛИТЕРАТУРА— ЧГЦЧЦЪПЬ РВПЬЪ

¹ H Steinhaus, Fund. Math., 1(1920). ² H. Hadwiger, Comment. Math. Helvet., 19 (1946/47). ² H Federer, Geometric measure theory, Springer, 1969. ⁴ W W. Comfort, Hugh Gordon, Trans. Amer. Math. Soc., vol. 99. No. 1 (1961). ⁵ A. Нейль, Интегрирование в топологических группах и его применения, М., 14Л, 1950.

LXX

1980

1

УДК 519,1

MATEMATHKA

Д О. Мурваян, Т. Э. Пилипосян

Минимальные нумерации вершин прямоугольной решетки

(Представлено чл корр АН Армянскон ССР Р Р Варшамовым 28 IX 1979)

Необходимость нахождения минимальных нумерации вершин графа возникает при решении ряда задач дискретной математики. В частности, в (¹) указывается необходимость нахождения минимальных нумераций вершин единичного п-мерного куба при рассмотрении некоторых задач в теории кодов и предлагается соответствующий алгоритм. В (²) изучаются некоторые свойства минимальных нумераций тора, сводя дискретную задачу к ее непрерывному аналогу. В (²) рассматриваются нумерации прямоугольной решетки, при которых минимальнуется максимум абсолютных величин разностей номеров смежных вершин.

Все неопределяемые в работе понятия можно найти в монографии (4).

. Пусть G(X,U)—граф со множеством вершин X (|X|=X) и множеством ребер U. Каждое взаимно-однозначное соответствие $\circ: X - [1,2,\dots,N]$ называется нумерацией графа G, а $\varphi(x)$ — номером вершины x Множество всевозможных нумераций графа G обозначим через Φ_G .

Число $E(\varphi,G)=\sum_{i=0}^{\infty}|\varphi(x)-\varphi(y)|$ называется длиной нумерации φ_i в число $E(G)=\min_{i=0}^{\infty}E(\varphi_i,G)-$ длиной графа G. Нумерация φ_0 называется минимальной, если $E(\varphi_0,G)=E(G)$. Множество всех минимальных нумераций графа G обозначим через Φ_G^E .

Пусть $\psi \in \Psi_a$; C,B = X; $C \cap B = \emptyset$; k = 1, X. Введем следующие обозначения:

$$m(C,B) = ||(x,y)|/|(x,y) \in U, x \in C, y \in B||;$$

 $m(B) = m(B, X, B);$
 $A^* = \{q^{-1}(1), \dots, q^{-1}(k)\};$

 $\Delta_{\phi}(B) = ||(x,y)/(x,y) \in U; \quad (B, y(B, z(x)) - ||(x,y)/(x,y) \in U;$ $x \in B; \quad y \in B; \quad z(x) - \varphi(y) ||;$

$$\delta_v(B) = \frac{\Delta_v(B)}{|B|}.$$

Нз (1) известно, что

$$E(\varphi,G) = \sum_{k=1}^{N} \omega(A_{\varphi}^{k}). \tag{*}$$

Определение. Множество $A \subset X$ назовем сплошным относнтельно нумерации — если шах $\phi(x)$ — min $\phi(x)$ — |A| — 1.

В дальнейшем, если будет ясно, относительно какой нумерации А является сплошным, скажем, что А—сплошное.

Определение. Скаж м, что множество B = X при нумерации в непосредственно следует за множеством $A \subset X$, если A,B сплошные и min $\varphi(x) = \max \varphi(x) + 1$.

Определение. Скажем, что множества A, B^-X независимы друг от друга, если $\omega(A, B) = 0$.

Лемма. Если множеества А,В⁻Х независимы друг от друга и при нумерации — в непосредственно следует за А, то

$$a_{\bullet}(A) \leq \delta_{\bullet}(B).$$

Граф со множеством вершин $\prod_{n=1, n} = |x_{i,j}|_{i=1, n}$ назовем прямоугольной решеткой (и обозначим через $P^{m,n}$), если вершины x_i , x_h , с межны тогда и только тогда, когда |i-k|+|j-e|=1.

Пусть $1 \le k - p - m$, $1 - e \le q \le n$. Обозначим

$$\Pi^{p,q} = |x_{i,j}/x_{i,j} \in \Pi^m \quad k \quad i \quad p; \ e \leq j \leq q|.$$

Определение. Множество П° назовем открытой полустрокой (соответственно—закрытой полустрокой и t-ой строкой), если d=1, c=m (соответственно d>1, c=m и d=1, c=m).

Аналогично определяются открытые и закрытые полустолбцы и *j*-ый столбец.

Определение. Множество $A = \prod^m$ назовем сжатым относительно вершины $x_{1,1}$ (соответственно относительно $x_{1,n}$, $x_{m,n}$), если из $x_{1,1} \in A$ следует, что $\prod_{i=1}^m \subseteq A$ (соответственно — $\prod_{i=1}^m A$, $\prod_{i=1}^m \subseteq A$).

Определение. Нумерацию $\varphi \in \Phi_{pmn}$ назовем сжагой относительно вершины $x_{1,1}$ (соответственно—относительно $x_{1,n}, x_{m,1}, x_{m,n}$), если для любого k=1, mn множество A^{n} сжато относительно вершины $x_{1,1}$ (соответственно—относительно $x_{1,n}, x_{m,1}, x_{m,n}$).

 A^* сжато относительно одной из вершин

Георема 2. *Оля каждой из вершин* $x_{1,1}, \dots x_{m,1}, x_{m,n}$ существует минимальная нумерация, сжатая относительно этой вершины.

Теоремы 1, 2 можно доказать, используя и дею доказательств аналогичных утверждений из (3) и соотношения (4).

Мы покажем, что каждая минимальная нумерация, сжатая относительно вершины $x_{i,i}$, разбивает $\Pi^{m,n}$ на подмножества A_i (i=1,7), причем A_{i+1} непосредственно следует за A_i (рис. 1), и дадим структуру нумераций множеств . Кроме того, опишем класс минимальных нумераций.

Теорема 3. Пусть п т. Нумерация фефрил минимальна тогоа и только тогоа, когоа выполнены следующие условия:

A) Dля каждого k=1, mn A^k является сжатым относительно одной из вершин $x_{1,1}, x_{..n}, x_{m,1}, x_{m,n};$

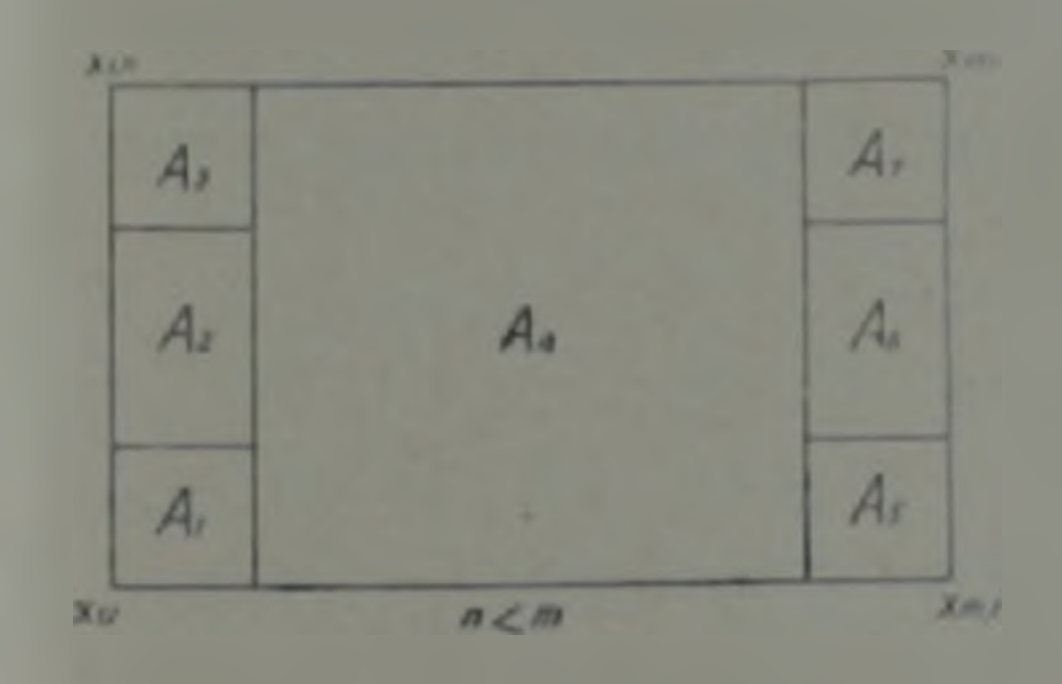


Рис 1

Рис. 2

- Б) Dля каждого $\iota=1$, а множества $\prod_{i=-l+1}^{l}$ —сплошные, причем сплошными являются также множества $\prod_{i=-l+1}^{l}$ —либо $\prod_{i=-l+1}^{l}$;
- В) Dля каждого $\iota = 1$, а множества Π^m сплошные, причем сплошными являются также множества

 Γ) D_{AR} любых l=a-1.n-a. j=a+1,n-a. m-a иножества $\Pi_{1,i}^{a,i}$ $\Pi_{i=1}^{m,i}$. $\Pi_{i}^{a,i}$ являются сплошными, гое

$$\left| n - \frac{1}{2} - \sqrt{\frac{n^2}{2} - \frac{n}{2} + \frac{1}{4}} \right| \le a, \ \overline{a} \le \left[n + \frac{1}{2} - \sqrt{\frac{n^2}{2} - \frac{n}{2} + \frac{1}{4}} \right].$$

Нумерации, удовлетворяющие условиям А), Б), В), Г), изображены схематично на рис. 2. Фактически нумерация минимальна тогда и только тогда, когда она удовлетворяет условию А) и множество вершин, лежащих на каждом отрезке, помеченном жирной линией на

рис. 2, является сплошным, причем помеченные кружком принадлежат одному из смежных отрезков.

Мы приведем ряд утверждений, из которых последует справедливость теоремы 3.

Обозначим

$$X_1 = \Pi^{1,n-1} \cup \Pi^{m-1,1}; \quad = \Pi^{m-1,n-1}.$$

Утверждение I. Пусть ϕ минимальна, сжата относительно вершины $x_{1,1}$ и $A \subset X_3$. Тогда

- а) если $x \in X_1$ и A непосредственно следует за x, то $|x| \bigcup A$ открытая полустрока, либо открытый полустолбец:
- б) если $x \in X_s$ и x непосредственно следует за A, то $A \cup \{x\}$ закрытая полустрока, либо закрытый полустолбец.

Следствие. Если закрытая полустрока (закрытый полустольец) В непосредственно следует за открытой полустрокой (открытым полустольцом) A, то $A \cup B$ —строка (стольец).

В следующих утверждениях предположим, что $\mathfrak{p} \in \Phi_{Pm,n}$ и сжата относительно вершины $x_{1,1}$. Кроме того, положим $v = \min_{x \in X_1} \mathfrak{p}(x)$, $h = \mathfrak{p}(x_{n+1,1})$, где n—нанбольшее i, что $x_{i,1} \in A^p$. Заметим, что номер v может получать одна из вершин $x_{2,n}$ и $x_{m,2}$.

Допустим $\psi(x_2) = v$ и $m,n \geqslant 5$.

Утверждение 2. Множества $\Pi^{2,2}$, $\Pi^{2,n}$, $\Pi^{m,2}$ $\Pi^{m,n}$, ... сплошные.

Утверждение 3. $\prod_{i=1}^{n}$ сплошное для каждого $i=\overline{1,a}$.

Утверждение 4. Dля любого $x_{i,j} \in A^{\circ}$ $i \leqslant a$.

Утверждение 5. Dля киждого $i \le n-a$, если $x_{i,n} \in A^n$, то $\prod_{i=1}^n -cn$ лошное.

Следствие. Если $\Pi^{a,n}$ —сплошное, то a < n/2 и множество $\Pi^{a,n}_{1,n-n+1}$ —сплошное.

Пусть v= Наибольшее i, для которого $x_{m-i+1,n-i+1}\in \Pi^{m,n}\setminus A_{n}^{n-1}$, обозначим через a, и пусть $h=z(x_{m-n,n})$. Рассмотрим нумерацию z(x)=mn-1-z(x) ($x\in \Pi^{m,n}$). Ясно, что z=0 сжата относительно вершины z=0 и m піп z=0.

Применяя утверждения 2-5 и следствие утвержления 5 относительно нумерации φ , получаем, что для любого e=1.a $\prod_{m=1,\dots,n}^{m-n}$, сплошное и для каждого $x_{i,j} \in \prod_{m=1}^{m-n} A_{i,j}^{n-1}$ i>m-a. Кроме того, для каждого k m-a, если x_{m-k+1} . По $\prod_{m=1,\dots,n}^{m-k}$ $\prod_{m=1,\dots,n}^{m-k}$

Утверждение 6. a + a < m.

По следствию утверждения 1 множества Π_{-1}^{m} Π_{-1}^{m} сплошные, и для каждого l=a+1, m-a является сплошным столбец Π_{-1}^{m} . Нетрудно убедиться, что

$$\sum_{k=a+1}^{a} m(A^{k}) = \frac{1}{3} a^{3} - \frac{a^{2}}{2} + \frac{a}{6};$$

$$\sum_{k=a+1}^{a(n-a)} m(A^{k}) = -2a^{3} + \frac{a}{2} n(n+1) - a^{3};$$

$$\sum_{k=a(n-a)+1}^{a} m(A^{k}) = \frac{a^{3}}{3} + \frac{a^{2}}{2} (2n-1) - \frac{a}{6} (6n-5) - 2n;$$

$$\sum_{k=aa+1}^{a(a-1)} m(A^{k}) = n^{2} - n - 1;$$

$$D(a) = \sum_{k=1}^{aa} m(A^{k}) = -\frac{a^{3}}{3} - a^{2}n - a\left(\frac{n^{2}}{2} - \frac{3n}{2} - \frac{2}{3}\right) - 2n.$$

Так как \mathfrak{P} минимальна, то $D(a+1) \geqslant D(a) + n + n - 1$ и D(a) = D(a-1) + n - n - 1. Отсюда $\left| n - \frac{1}{2} - 1 \right| \frac{n}{2} = \frac{n}{2} + \frac{1}{4} \left| -n \right| n - \frac{1}{2} = \frac{n}{2} + \frac{1}{4} \left| -n \right| n - \frac{1}{2} = \frac{n}{2} + \frac{1}{4} \left| -n \right| n - \frac{1}{2} = \frac{n}{2} + \frac{1}{4} \left| -n \right| n - \frac{1}{2} = \frac{n}{2} + \frac{1}{4} \left| -n \right| n - \frac{1}{2} = \frac{n}{2} + \frac{1}{4} \left| -n \right| n - \frac{1}{2} = \frac{n}{2} + \frac{1}{4} \left| -n \right| n - \frac{1}{2} = \frac{n}{2} + \frac{1}{4} \left| -n \right| n - \frac{1}{2} = \frac{n}{2} + \frac{1}{4} \left| -n \right| n - \frac{1}{2} = \frac{n}{2} + \frac{1}{4} \left| -n \right| n - \frac{1}{2} = \frac{n}{2} + \frac{1}{4} \left| -n \right| n - \frac{1}{2} = \frac{n}{2} + \frac{1}{4} \left| -n \right| n - \frac{1}{2} = \frac{n}{2} + \frac{1}{4} \left| -n \right| n - \frac{1}{2} = \frac{n}{2} + \frac{1}{4} \left| -n \right| n - \frac{1}{2} = \frac{n}{2} + \frac{1}{4} \left| -n \right| n - \frac{1}{2} = \frac{n}{2} + \frac{1}{4} \left| -n \right| n - \frac{1}{2} = \frac{n}{2} + \frac{1}{4} \left| -n \right| n - \frac{1}{2} = \frac{n}{2} + \frac{1}{4} \left| -n \right| n - \frac{1}{2} = \frac{n}{2} + \frac{1}{4} \left| -n \right| n - \frac{1}{2} = \frac{n}{2} + \frac{1}{4} \left| -n \right| n - \frac{1}{2} = \frac{n}{2} + \frac{1}{4} \left| -n \right| n - \frac{1}{2} = \frac{n}{2} + \frac{1}{4} \left| -n \right| n - \frac{1}{2} = \frac{n}{2} + \frac{1}{4} \left| -n \right| n - \frac{1}{2} = \frac{n}{2} + \frac{1}{4} \left| -n \right| n - \frac{1}{2} = \frac{n}{2} + \frac{1}{4} \left| -n \right| n - \frac{1}{2} = \frac{n}{2} + \frac{1}{4} \left| -n \right| n - \frac{1}{2} = \frac{n}{2} + \frac{1}{4} \left| -n \right| n - \frac{1}{2} = \frac{n}{2} + \frac{1}{4} \left| -n \right| n - \frac{1}{2} = \frac{n}{2} + \frac{1}{4} \left| -n \right| n - \frac{1}{2} = \frac{n}{2} + \frac{1}{4} \left| -n \right| n - \frac{1}{2} = \frac{n}{2} + \frac{1}{4} \left| -n \right| n - \frac{1}{2} = \frac{n}{2} + \frac{1}{4} \left| -n \right| n - \frac{1}{2} = \frac{n}{2} + \frac{1}{4} \left| -n \right| n - \frac{1}{2} = \frac{n}{2} + \frac{1}{4} \left| -n \right| n - \frac{1}{2} = \frac{n}{2} + \frac{1}{4} \left| -n \right| n - \frac{1}{2} = \frac{n}{2} + \frac{1}{4} \left| -n \right| n - \frac{1}{2} = \frac{n}{2} + \frac{1}{4} \left| -n \right| n - \frac{1}{2} = \frac{n}{2} + \frac{1}{4} \left| -n \right| n - \frac{1}{2} = \frac{n}{2} + \frac{1}{4} \left| -n \right| n - \frac{1}{2} = \frac{n}{2} + \frac{1}{4} \left| -n \right| n - \frac{1}{2} = \frac{n}{2} + \frac{1}{4} \left| -n \right| n - \frac{1}{2} = \frac{n}{2} + \frac{1}{4} \left| -n \right| n - \frac{1}{2} = \frac{n}{2} + \frac{1}{4} \left| -n \right| n - \frac{1}{2} = \frac{n}{2} + \frac{1}{4} \left| -n \right| n - \frac{1}{2} = \frac{n}{2} + \frac{1}{4} \left| -n \right| n - \frac{1}{2} = \frac{n}{2} + \frac{1}{2} + \frac{1}{2} + \frac{1}{2} + \frac{1}{2} + \frac{1}{2} + \frac{1}{2} +$

$$E(z, P^{m,n}) = -\frac{2}{3}a^{2} + 2na^{2} - \left(n^{2} + n - \frac{2}{3}\right)a - m(n^{2} - n - 1) - n.$$

Заметим, что верхняя и нижияя оценки a совпадают для всех n, кроме тех случаев, когда $1 \quad \frac{n^2}{2} \quad \frac{1}{2} \quad \frac{1}{4} \quad -$ целое число. В последнем случае оценки различаются на единицу, и нет разницы, какую из них изять как значение a.

Вспомним, что непосредственно перед утверждением 2 мы допустили = ()

Утверждение 7. $v = \varphi(x_{2,n})$ при m > n. Таким образом, если $m > n \ge 5$, то

$$E(P^{m,n}) = -\frac{2}{3}a^3 - 2na^2 - \left(n^2 - n - \frac{2}{3}\right)a - m(n^2 - n - 1) - n.$$

Мы фактически получили, что при m > n 5 минимальные нумерации, сжатые относительно вершины $x_{1,1}$, разбивают $\Pi^{m,n}$ на подмножества $A_1(i=1.7)$, как изображено на рис. 1, и дали структуру нумераций A_i . Кроме того, получили, что $|A_1| - |A_3| = a^2$ и $|A_3| - A_7 = a^3$. Если в случаях n=2,3 рассмотреть те же нумерации, взяв a=a=1, то получим нумерацию $\gamma(x_{i,1})=(i-1)n-j(x_{i,1}\in\Pi^{m,n})$. т. е. нумерацию столбцов, следующих друг за другом Легко убелиться, что эта нумерация является единственной минимальной, сжатон относительно вершины $x_{1,1}$ нумерацием $P^{m,n}$ (при n < m и $n \le 3$). Для $F^{m,n}$

$$1 \quad a, a \leq 2.$$

Таким образом, описан класс минимальных, сжатых относительно вершины хіл нумераций графа Это описание и теорема 1 дают полное описание класса минимальных нумераций прямоугольной решетки теорема 3).

Граф со множеством вершин $\Pi^{m,n}$ назовем тором, если вершины $x_{i,j}$. $x_{i,r}$ смежны тогда и только тогда, когда либо i=k и |j-e|= $= \begin{cases} 1 \\ n-1 \end{cases}$, либо j=e и $|i-k|=\begin{cases} 1 \\ m-1 \end{cases}$. Тор, который фактически является декартовым произведением двух простых циклов, обозначим через $T^{m,n}$.

Поскольку $P^{m,n}$ и $T^{m,n}$ имеют одинаковое множество вершин, то для $T^{m,n}$ можно дать все те определения, что были даны для $P^{m,n}$. Более того, для тора верна следующая теорема, вналогичная теореме 2:

Теорема 4. Dля каждой из вершин $x_{1,1}, x_1 = x_{m,1}, \dots$ существует нумерация — сжатая относительно этой вершины.

Ісгко видеть, что для любого множества $B \equiv \prod^m n$, сжатого относительно вершины $x_{1,1}, \omega_{f^m,n}(B) = 2 v_{p^m,n}$ (B). Отсюда и из (*) получаем

$$\Phi = \Phi = H E(T^{m,n}) = 2E(P^{m,n}).$$

Вычислительный центр Академии наук Арминской ССР и Ереванского государственного университета

Դ. Հ. ՄՈՒՐԱԳՅԱՆ, Տ. Է. ՓԻԼԻՊՈՍՅԱՆ

Ուղղանկյուն ցանցի գագաթների մինիմալ ճամաբակալումներ

Իրցուջ (X,U)-ն դրաֆ է X(|X|=N) դադաքների և U դազանանան ևնեն մի $z:X-1,2,\ldots,N$ փոխմիարմեք նահատասնանանանանան կոչվամ է G դրաֆի համարակալում։ Համարակալումը կոչևերի են կից դադաքներ համարների տարրերությունների բաց արձակ արժերների ամարը ամենափութըն կր

թատարանան ցանցը՝ m և n հրկարությամբ երկա պարդ չդթաների դև-

կարտյան արտագրլալը։

ալց գազախի Նկատմամը տեղ Համարակներից լուրաքանչյուրի համար արվում է
որ պազախներից լուրաքանչյուրի համար գոլություն ունի մինիմալ,
որ կազախներից լուրաքանչյուրի համար գոլություն ունի մինիմալ,

JI H T E P A T Y P A — "P" IL 4 IL 14 IL 14 IL 14 IL 16 IL 1

² L. H Harper, J. Soc. Indust Appl. Math., 12, 1 (1964). ² L. H. Harper, J. Appl. Prob., 1, 2 (1967). ³ I. Chuatalova, Disciele Mathematics, 11 (3,4) (1975). ⁴ Ф Харари, Теория графов. "Мир", М. 1973.

LXX

1980

I

YIK 523.877 + 537 312 62

ФИЗИКА.

Д. М. Сеаракян, К. М. Шахабасян

Протонный ток в «пре»-фазе неитронных звезд

(Представлено чл корр АН Арминской ССР Г. С Саакином 21/VI 1979)

В некоторых моделях нейтронных звезд (1) основная по размерам фаза представляет собой ядерную жидкость, состоящую из нейтронов, протонов и электронов. Плотность протонои и электронов на два порядка меньше плотности нейтронов. Так как средняя плотность нуклонов в этой фазе порядка ядерной плотности, то протоны и нейтроны участвуют в сильном взаимодействии, имеющем характер притяжения Это взаимодействие приводит к спариванию нейтронов в куперовские пары и появлению сверхтекучести нейтронного газа (2.3).

В работах (4.5) рассматривалась также возможность спаривании протонов. Имеющиеся оценки (3.5) температур перехода нейтронов в сверхтекучее состояние и протонов в сверхпроводящее состояние по-казывают, что критическая температура для нейтронов может на порядок превышать критическую температуру для протонов При температурах, меньших нижией критической, в «пре»-фазе имеется двухком-понентная (нейтронно-протонная) сверхтекучая ферми-жидкость Так как критическая температура нейтронов порядка 10° + 10° К, то такая ситуация может реализоваться в нейтронных звездах.

Для исследования сверхтекучих и электромагнитных свойств этой взаимодействующей смеси при температурах $T \leq T_c$ нами впервые получены интегральные уравнения для температурных функций Грина и "аномальных" средних протонов и нейтронов с учетом сильного взаимодействия между инми (°). При получении этих уравнений использовался метод, предложенный в работе (°). Решая эти интегральные уравнения в приближении малых Δ , Δ_1 , g^2 и используя определение тока протонов посредством функции Грина G(x,x'), приведенное в работе (°), получаем уравнение Гинзбурга—Ландау для тока протонов:

$$\vec{j} = \left[\frac{ietr}{m_p} \left(\Delta \frac{\partial \Delta^o}{\partial \vec{r}} - \Delta^o \frac{\partial \Delta}{\partial \vec{r}}\right) - \frac{4e^2}{m_pc} |\Delta|^2 \vec{A}\right] K + \frac{ietr}{m_p} \left(\Delta_1 \frac{\partial \Delta_1^o}{\partial \vec{r}} - \Delta_1 \frac{\partial \Delta_1^o}{\partial \vec{r}}\right) |\Delta|^2 N,$$

гле $K = C_p + L|\Delta_1|^2$, g_3 — постоянная нейтронно-протонного изанмодействия, Δ и Δ_1 — "щели" протонов и нейтронов соответственно. Коэффициенты C_p , N, L равны:

$$C_{\rho} = \frac{7}{16} \, \mathbb{I}(3) \, \frac{n_{\rho}}{\pi^{3} (kT)^{3}} \, m^{-2} \, c. n^{-3}; \tag{2}$$

$$I = (0.256 g^2 \frac{m_n m_n^2 p_n^2}{\pi^2 W^2 (RT)^2} = 3.26 \cdot 10^2 \frac{n_n}{(RT)^2} 3pz^{-4} c.u^{-3};$$

$$N = 0.106 \frac{g^3 m_p^3 m_n p_F^2}{\pi^6 h^6 (kT)^3} = 1.62 \cdot 10^3 \frac{m_p}{(kT)^3} 3pz^{-4} c.u^{-3}.$$

Здесь n_p —плотность протонов, k—постоянная Больцмана, m_p и m_s массы протонов и нейтронов соответственно, p_k импульс Ферми протонов, h—постоянная Планка, $\zeta(3)$ —функция Римана, $g_s = 3.75 \cdot 10^{-13}$ грг см³. Значение коэффициента C_p взято из работы ($\frac{1}{2}$).

Таким образом, учет взаимодействия протонов с нейтронами приводит к появлению тока "увлечения" протонов нейтронами (второе слагаемое формулы (1)) и к изменению эффективной массы протона

$$m_{\text{adab}} = \frac{m_p}{1 + \frac{L}{C_p} |\Delta_{\chi}|^2}$$

которая почти не отличается от массы свободного протона.

Подставим выражение для тока (1) в уравнение Максвелла

$$rot \, \overline{H} = \frac{4\pi}{c} \, \overline{I}$$

и возьмем ротор от обенх частей, вводя при этом вместо щелей нейтронов и протонов их волновые функции следующим образом:

$$\psi = \sqrt{C_n} \Delta = \psi_1 = \sqrt{C_n} \Delta_1 = \psi_2 C_n \Delta_2 = \psi_3 C_n \Delta_3 = \psi_4 C_n \Delta_4 = \psi_4 C_n \Delta_4 = \psi_4 C_n \Delta_5 = \psi_5 C_n$$

где γ , у , о , о - соответственно модули и фазы волновых функций протонов и нейтронов. Тогда получим уравнение типа . юндонов

$$H = \Phi_0 e^n (r - r_p) + \Phi_1 e^n (r - r_n), \tag{3}$$

где

$$\Phi_0 = \frac{\pi \hbar c}{e}; \quad \Phi_1 = \frac{N \psi_{10}^2}{C_n C_p \left(1 + \frac{L \psi_{10}^2}{C_n C_p}\right)};$$

$$\lambda^2 = \frac{\hbar h}{1 + \frac{\hbar \psi h}{C C}} = \frac{m_\rho c^2}{16\pi e^2 \psi_o^2}$$

Здесь Φ_0 и Φ_1 —магнитные потоки, создаваемые вихрями протонов и нейтронов соответственно, и—глубина проникновення магнитного поля, и лондоновская глубина проникновения, е—единичный вектор, направленный вдоль вихревой инти.

Первое слагаемое правой части уравнения (3) приводит к поянлению в точках r_p протонной вихревой нити с потоком Φ_e . Для ее возникновения потребуется внешнее магнитное поле, равное (*):

$$H_{c1} = \frac{\Phi_0}{4\pi^{3/2}} \ln \frac{\lambda}{2}.$$

Оценки для "пре"-фазы нейтронных звезл дают: $\lambda = 1,55.10^{-11}$ см, $z = 3,8\cdot10^{-12}$ см и, следовательно, $H_{c1} \approx 9\cdot10^{12}$ гс. Такие вихревые инти появились бы, если бы во время эволюции нейтронных звезд переход протонов в сверхтекучее состояние сопровождался существованием мощных источников, генерирующих поли порядка $10^{13}-10^{14}$ гс. Интересно отметить, что после появления такой вихревой сети магнитное поле будет стационарным благодаря сверхтекучим протонным токам.

Второе слагаемое правой части уравнения (3) приводит к появлению магнитного поля, прошизывающего нейтронные вихревые нити в точках r_n Поток магнитного поля нейтронного вихря равняется Φ_1 и появляется благодаря "увлечению" протонов нейтронами. Изменение эффективной массы протонов приводит к незначительному изменению глубины проникновения

Поскольку нейтронные звезды, точнее пульсары, вращаются, то необходимо учитывать влияние вращения на поведение нейтронно-протонной сверхтекучей жидкости. Учет вращения в уравнениях для протонных функций Грина и в других формулах теории сверхпроводимости сводится к замене потенциала A на величину A', равную (*10)

$$A' = A + \frac{m_{\mu}c}{\rho} \vec{U}$$
.

Здесь $U=\{2r\}$, — угловая скорость вращения, m_p — масса свободного протона. Для плотности тока во вращающейся системе координат имеем следующее выражение (°):

$$j = 2 \left[\frac{1}{2m_{p}} (\nabla_{r} - \nabla_{r}) G(x, x') - \frac{e^{2}}{m_{p}^{*}} \bar{A}'(j(x, x')) \right]$$
 (5)

Здесь m^* — масса протонной пары. Учет вращения приводит к изменению фазы функции Грина нейтронов

$$D_{-}(r,r') = e^{im_{n}U(r-r')}D_{-}^{n}(r-r'), \tag{6}$$

где $D_{\alpha}^{\rho}(r-r')$ — функция Грина свободных нейтронов Используя (4), (5) и (6), получаем уравнение Лондонов во вращающейся системе координат

$$H + i^2 \operatorname{rotrot} H' = \Phi_0 e^{\lambda} (r - r_p) + \Phi_1 e^{\lambda} (r - r_n)$$
 (7)

где

$$H' = \cot A - \frac{2m_{\rho}c}{e} 2, \qquad \qquad = \sqrt{2}.$$

Уравнение (7) можно интерпретировать как уравнение для неподвижного сверхпроводника (10), находящегося во внешнем однородном постоянном магнитном поле

$$\vec{H}_0 = \frac{2m_p c}{e} \vec{\Omega}$$
.

Это заключение представляет собой обобщение теоремы Лармора на случай двухкомпонентной сверхтекучей ферми-жидкости. Легко заметить, что это поле довольно слабое порядка 2·10⁻⁴ 2 гс. Даже при 2 200 сек⁻¹ оно порядка 4·10 ² гс. Это поле на много порядков меньше критического поля и, следовательно, не может создавать протонные вихревые нити.

В заключение приведем некоторые оценки магнитисто поля для модели вращающейся нейтронной звезды с плотностью нейтронов $n_{\rho} \approx 10^{36}~c~\text{M}^{-3}$, плотностью протонов $n_{\rho} \approx 10^{36}~c~\text{M}^{-3}$ и угловой скоростью вращения $\Omega \approx 200~cec$. Так как плотность нейтронов на два порядка выше плотности протонов, последние не влияют на образование нейтронных вихрей. Их плотность можно оценить по формуле (11)

$$n = \frac{20}{x} = 2 \cdot 10^5 c u^{-2}$$

где $x=\pi h$ m. Если учесть, что через каждый нейтронный вихрь проходит поток Φ_1 , то среднее магнитное поле H_0 $n\Phi_1$, где $\Phi_1=0.03$ \cdot $\cdot 10^{-3}$ $zc\cdot cm^2$ при $T=10^6$ K, $\Delta_1=0.1$ $m \ni 6$ n $\Phi_1=3\cdot 10^{-3}$ zc c n при $T=10^6$ K, $\Delta_1=1$ n sc. Среднее магнитное поле в первом случае порядка 10^{-3} zc, а во втором случае порядка 10^{-1} zc. Это поле довольно маленькое, но замечательно, что оно сильно неоднородное. Действительно, в центре вихря на площади порядка 10^{-21} c m^2 поле достигает довольно больших значений, оцениваемых формулой:

$$H = \frac{1}{2\pi n^2} \ln \frac{1}{n}$$

Для случая $\Delta_1 = 1$ мля $H \approx 2.7 \cdot 10^{14}$ гс, а для $\Delta_1 = 0.1$ мля поле порядка $2.7 \cdot 10^{12}$ гс. Уходя от центра вихря, поле экспоненциально падает до нуля.

Таким образом, вращение неятронной звезды приводит к появлению довольно плотной нейтронной сети вихревых нитей, центры которых пронизывает магнитный поток с напряжением поля в центре порядка $10^{12} \div 10^{14} zc$.

Авторы выражают благодарнось Г. С. Саакяну и участникам семинара кафедры теоретической физики ЕГУ за полезное обсуждение.

Ереванский государственный университет

THE REPORT OF THE SECTION OF THE SEC

Պոտոնների նոսանքը նելտոռնային աստղերի enpes-ֆազում

ЛИТЕРАТУРА— ЧРИЧИТИТЬ РВИТЬ

Г. С. Саакам, Равновесные конфигурации вырожденных газовых масс, «Паука», М., 1972. А. Б. Мигдал, ЖЭТФ, т. 37, 249 (1959). В. Л. Гинзбург, Д. А. Киршмиц, ЖЭТФ, т. 47, 2003 (1964). А. М. Седракам, К. М. Шахибасам, Астрофизика, т. 8, 557 (1972). Ю. М. Брук, Астрофизика, т. 9, 237 (1973). Д. М. Седракам, К. М. Шахабасам, Г. А. Вирдамам Ученые записки ЕТУ, 2, 1979. А. А. Абрикосов, Л. П. Горьков, И. Е. Дзялошинский, Методы кванторой теории поля в статистической физике, Физиатиз, М., 1962. А. А. Абрикосов, ЖЭТФ, т. 32, 1442 (1957). В. Н. Верким И. О. Кулик, ЖЭТФ, т. 61, 2067 (1971). В. Д. М. Седракам, Г. С. Мкртчям, К. М. Шахабасам, Известия АН Арм. ССР, Физика, т. 11, 385 (1976). В. М. Халатий-ков, Теория сверхтекучести. «Наука», М., 1971.

LXX 1980

УДК-621.373 826

ФИЗНКА

A. О. Меликин, С. I. Савкин

Временная структура резонансно генерированных импульсов третьей гармоники

(Представлено чл корр АН Армянскон ССР М Л. Тер-Микаеляном 15/Х 1979)

Авторами ранее была разработана точная теория резонансной генерации трстьей гармоники (ТГ) в газах при накачке аднабатическими импульсами (ТР). Было показано, что укороченные уравнения распространения для медленных амплитуд напряженностей полей имеют вид:

$$\left(\frac{\partial}{\partial x} + \frac{\partial}{\partial ct}\right) E_1(x, t) = -i \frac{2\pi \hbar \omega N}{c} \frac{\partial t_1}{\partial E_1}$$

$$\left(\frac{\partial}{\partial x} + \frac{\partial}{\partial ct}\right) E_2(x, t) = -i \frac{6\pi \hbar \omega N}{c} \frac{\partial t_1}{\partial E_2}$$
(1)

где N— плотность числа атомов (молекул), ω —частота накачки, а ℓ_1 —квазивнергия основного состояния атома. Были исследованы стационарные решения системы ураппений (1).

В настоящей работе мы исследуем влияние эффектов когерентного насыщения на временную форму импульса ТГ, генерированного а циабатическим импульсом накачки. Произведем замену переменных

$$\eta = x$$
 и введем $E(\xi,\eta) = (I_1(\xi,\eta)) \exp\{i\varphi_1(\xi,\eta)\}$ и $exp\{i\varphi_1(\xi,\eta)\}$ и $exp\{i\varphi_1(\xi,\eta)\}$ и меем:

$$\frac{\partial l_1}{\partial \tau_i} = \frac{2\pi \hbar \omega N}{c} \frac{\partial l_1}{\partial \tau_{i1}} = \frac{2\pi \hbar \omega N}{c} \frac{\partial l_2}{\partial l_3}$$

$$\frac{\partial l_1}{\partial \tau_i} = \frac{6\pi \hbar \omega N}{c} \frac{\partial l_1}{\partial \tau_{i2}} = \frac{6\pi \hbar \omega N}{c} \frac{\partial l_2}{\partial l_3}$$
(2)

Система уравнений (2) совпадает с аналогичной системой (8) работы (1), с той лишь разницей, что величины I_n и I_1 зависят от локально-

го времени ξ ках от параметра. Следовательно, интегрировать уравиения (2) по η можно точно так же, как и в работе (1). При этом получаем, что величны I_1+I_3 и I_4 являются интегралами движения (по η). η е. $\partial(I_1+I_2)$ $\partial \eta=0$, и = 0, и определяются из граничных условий при $\eta=0$. Если временная форма импульса накачки на входе задается функцией $I_0(t)$, то $I_1(\xi,\eta)$ $I_2(\xi,\eta)=I_0(\xi)$, а $I_4(\xi)$ определяется из уравнения (10) работы (1), в котором $I_0=I_0(\xi)$. Уравнение распространения η будет иметь следующий вид:

$$\frac{ds(\hat{\epsilon}, \eta)}{ds(\hat{\epsilon}, \eta)} = \frac{12\pi N \omega d_{12} d_{23} d_{24} d_{14} l_{e}(\hat{\epsilon})}{(3)}$$

где $s(\xi, \eta) = I_3(\xi, \eta)/I_0(\xi)$, а величины ξ , β , γ и δ определяются формулами (14) — (17) работы (1), в которых подставлены $I_0 = I_0(\xi)$ и $I_1 = I_1(\xi)$.

Физически гот факт, что локальное врема в иходит в уравнение распространения ТГ как параметр, означает, что если разбить импульс накачки на малые временные интервалы, в которых амплитулу напряженности можно считить постоянной, то каждый из этих участков генерирует ТГ независимо от остальных. Уравнение (3) описывает периодическую по координате передачу мощности из импульса накачки в ТГ и обратно. При малых интенсивностях накачки или больших расстройках резонанса из (3) получаем известный результат (1 3)

$$I_{a}(\xi, \tau_{l}) \sim I_{o}^{3}(\xi) \left(\frac{\sin \frac{\Delta k \tau_{l}}{2}}{\Delta k}\right)^{2}$$

В этом случае период перекачки не зависит от интенсивности накачки и формой импульса ТГ является возведенная в куб форма импульса накачки. Иной будет ситуация в резонансных условиях, когла период зависит от интенсивности. Тогда каждый участок импульса накачки перекачивается в генерированную им ТГ со своим периодом Это приводит к тому, что форма импульса ТГ в произвольной точке L будет иметь пичковую структуру. Действительно, если длина L ивлиется целой кратной периода, соответствующего интенсивности накачки $I_0(t_f)$, то в моменты локального времени $\mathfrak{k}_f = t_f$ интенсивность ТГ будет обращаться в нуль. Напомиим, что для ТГ мы выбрали нулевые граничные условия.

Покажем это на примере предельного случая малых расстроек резонанса или большой интенсивности накачки, когда существенны эффекты когерентного насыщения. Возьмем симметричный импульс накачки, достигающий максимума I_{om} при $\ell=0$. Величина завляется

упрактерным временем изменения интенсивности накачки. Допустим. что расстройки резонанса малы так, что условие $h^2 + I_0 \left(-\right) D^0$, где $D^0 = d + d - d$ нарушается только при t Если при этом выполняется соотношение $d_{11} - d_{12}, d_{23}, d_{34}$, то решение уравнения (3) имеет вид (1)

$$I_{s}(\xi, l) = AI_{o}(\xi)\sin^{2}\left(\frac{I_{out}}{I_{o}(\xi)}\right)$$
(4)

где постоянные A и L определяются из выражения (29) работы (1). Легко видеть, что $\partial l_a(\xi, I)/\partial \xi$ обращается в нуль при $\xi = 0$, а также в двух последовательностях значений локального времени $\xi = \xi_p$ и $\xi = \xi_p$, определяемых из условий:

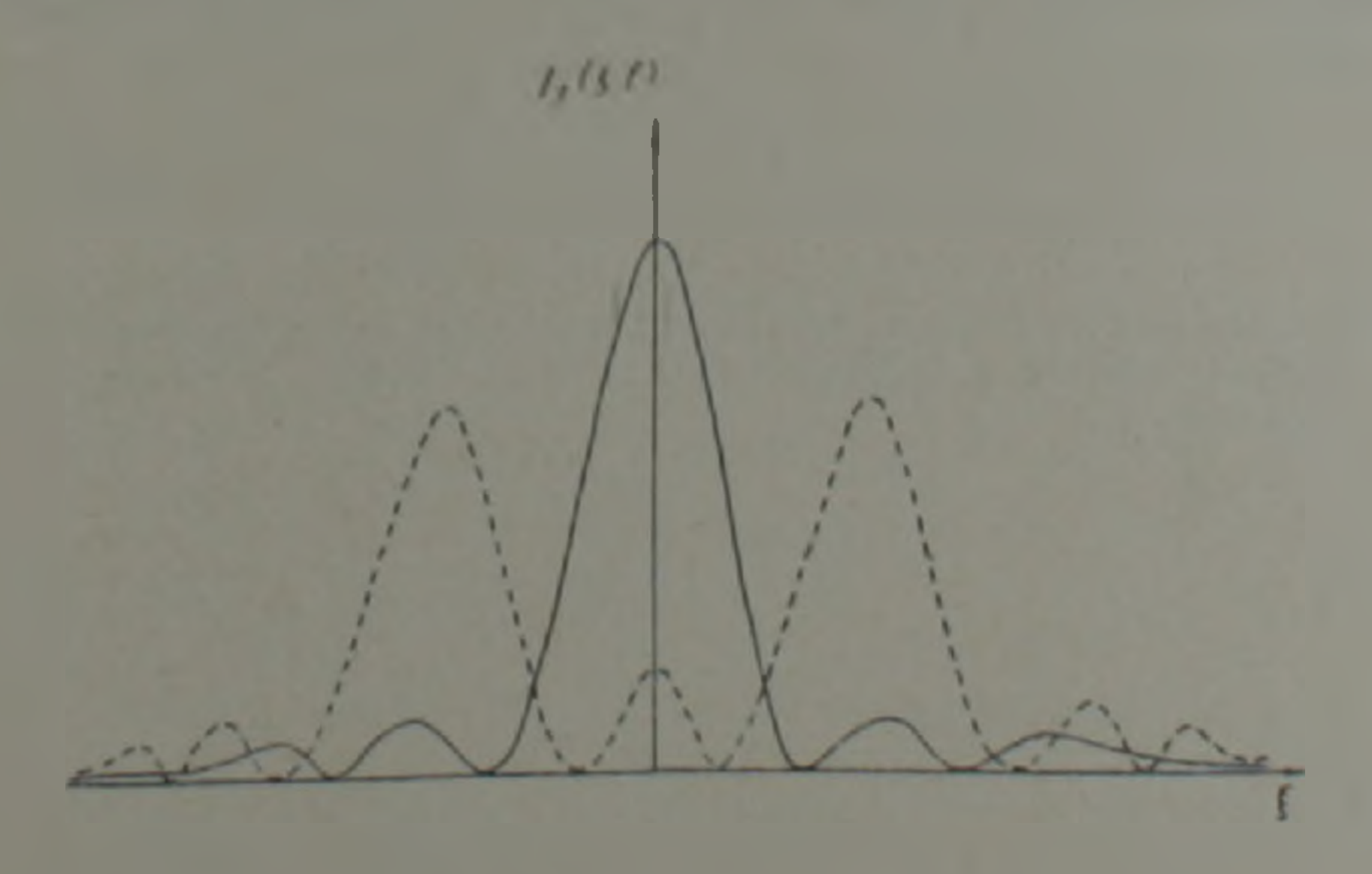
$$I_0(\xi_r) := I_{om} \left(\frac{l}{L}\right)^2 \frac{1}{4r^2} (r = \pm 1, \pm 2, \pm 3...);$$
 (5)

$$tg\left(\frac{I_{om}^{1_0}}{I_0^{1_0}(\xi_p)}\frac{l}{L}\right) = \frac{I_{om}^{1_0}}{I_0^{1_0}(\xi_p)}\frac{l}{L}(p = \pm 1, \pm 2, \pm 3...).$$
(6)

Из (4) и (5) следует, что интенсивность ТГ обращается в нуль при $t=\xi_p$, а при t=0 и $t=\xi_p$ имсют место локальные максимумы. Для отношения интенсивности центрального пика (t=0) к интенсивности пика при $t=t_p$ из (4) и (6) получаем

$$\frac{I_3(0, l)}{I_3(\xi_p, l)} = (1 - u_p) \left(\frac{l}{l}\right)^2 \sin^2\left(\frac{l}{l}\right)$$
 (7)

где u_p — корень уравнения tgu=u (u=0). Пз уравнения (7) следует что интенсивности шиков убывают с ростом помера p. На рисунке



изображены примерные формы импульсов IГ для двух случаев соотношений длин / и L. При / L наибольшей является высота центрального пика, а при l наибольшими являются первые сателлиты $(p=\pm 1)$. Интенсивность центрального пика осциллирует с l, обращаясь в нуль при $l=2\pi nL$.

Таким образом, зависимость периода перекачки мощности от интенсивности является новым механизмом, приводящим к пичковости временной формы импульса ТГ, даже при накачке гладкими адпабатическими импульсами.

Авторы благодарят чл.-корр. АН Армянской ССР М. Л. Тер-Микаеляна за обсуждение результатов.

Институт физических исследований Академии наук Армянской ССР

Ա. Հ. ՄԵԼԻՐՑԱՆ, Ս. Հ. ՍԱՀԱԿՏԱՆ

Ռեզոնանսային պայմաննեւում գենեւացված եւ ուղ հաշմոնիկի իմպուլսների ժամանակային կառուցվածքը

և աստրումած է Հարք աղիաթատիկ մզման իմպուլսներով պեներացված երրորդ Հարմոնիկի իմպուլսների ժամանակային կառուցվածքը Ցույց է տրված. որ մզման ըմպուլսի փոթր Հզորության և կամ նրա Հաճախականության ռեզոնանսից հեռու լինելու դեպքում, երրորդ Հարմոնիկի իմպուլսը նույնպես Հարք է և ունի մզման իմպուլսի խորանարդի ձև։ Մզման իմպուլսի մեծ հզորության և կամ նրա Հաճախականության ռեզոնանսին մոտ լինելու դեպքում իւայտ են գալիս կոհերենտ հագեցման էֆեկտները։ Նրանք բերում են իմպուլսների միջն Հզորության փոխադարձ փոխանցման աարաձական պարբերության մզման իմպուլսի հզորությունից կախված լինելուն։ Ցույց է տրված, որ այդ հանդաժանքի մանդահինի իմպուլսների ժամանակային մողուլացմանը, նույնիսկ Հարդ մզման իմպուլսների դեպքում.

ЛИТЕРАТУРА — ЭРИЧИТЛЕР 5 ПЕТ

¹ А О Меликян, С Г Саакян, ЖЭТФ. 76, 1530 (1979). ² А. О Меликян, С Г. Са-акян, Препринт ИФИ-78-79, Аштарак, 1979 ² Н Бломберген, Нелинейная оптика. «Мир», М. 1966

LXX 1980

УДК 535 371

ФИЗИКА

Б. В Крымановский

Резонансная флуоресценции на вырожденных уровнях

(Представлено чл.-корр АН Армянскон ССР М Л Тер Микаеляном 22 XI 1979)

1. Рассмотрим атомную систему $S_{1/2}-P_{1/2}$, взлимодействующую с квантованным полем излучения в присутствии классического внешнего поля, представляющего собон суперпозицию распространяющихся в одном направлении (ось z) двух монохроматических воли: поляризованной по левому кругу (э) волны с частотой ω и поляризованной по правому кругу (э) волны с частотой ω . Частоты и предполагаются близкими к частоте атома ω_0

$$|\mathbf{S}| = |\mathbf{w}_0 - \mathbf{w}| \tag{1}$$

Задача о поведении атома во внешнем поле сводится к рассмотрению двух негависимых двухуров невых систем: полем \circ -волны связываются уровии и (соответствующую этому взаимо-лействию частоту Раби обозначим через \mathfrak{Q}_{-}), а полем \circ -волиы — уровии $\psi_{-1/2}$ и (частота Раби — \mathfrak{Q}_{-}). Квазиэнергетические волношье функции этих связянных двухуровневых систем имеют вид $(^{1})$:

$$\Phi_{-1} = e^{-h} z^{1} (a_z \gamma_{h_1 + 1/2} + b_1 \gamma_{h_2} + b_2 \gamma_{h_3})$$
 (2a)

$$\Phi_{-2} = e^{-D_{+2}}(-b)\phi_{--12} + a^*\phi_{\nu, -10}e^{-c-}),$$
 (25)

где

$$\xi_{\pm} = \frac{\Omega^{2}}{2} | \xi_{\pm}^{2}, \quad \lambda_{\pm 1} + \lambda_{\pm 2} = \varepsilon.$$

$$\lambda_{\pm 1} = \frac{1}{2} \epsilon_{\pm} (1 - \sqrt{1 + \xi})$$

$$a_{\pm} = [1 + \Omega^{2}/4 \epsilon_{\pm 2}^{2}]^{-1/2}, \qquad b_{\pm} = -a_{\pm} \Omega e^{i \epsilon_{\pm} 2/2} e^{i \epsilon_{\pm} 2/2} e^{i \epsilon_{\pm} 2/2}.$$
(3)

Здесь и у произвольные фазы, свизанные со взаимодействием атома с э'- или эт-воли и соответственно.

При времених 157 гле у есть естественияя ширина атомной линии, спонтанное излучение может привести к довольно сильному перемениванию квазизнергетических состояний. Систему атом но

внешнем поле + квантованное поле" будем описывать при этом некоге-

$$V = \sum_{n=1}^{\infty} C_n(t)\Phi_n \tag{4}$$

Можно показать (подробный вывод содержится в работах (²⁻³)), что из точных уравнений для матрицы плотности, полученных (⁴) при строгом учете взаимодействия с квантованным полем излучения, в приближении

$$T = I : I = U^{2}$$
 (5)

следуют уравнения баланся для населенностей квазиуровней

$$\frac{d}{dr}|C_n|^2 = \sum (|C_m|^2 \alpha r_m - |C_n|^2 \alpha r_n$$
 (6)

величины в которых совпадают с вероятностями спонтанных переходов $\Phi_n \to \Phi_m$, вычисленными из основании принципа соответствия

$$w_{n} = \frac{4\pi m_{nm}}{3\hbar c^{2}} |D_{mn}^{(-)}|^{2}, \tag{7}$$

где $D^{(-)}_{mn}$ — отрицательночастотная часть дипольного матричного элемента $\Phi_n = \Phi_m$ перехода, а $\Phi_m = \Phi_m$ перехода $\Phi_m = \Phi_m$ перехода $\Phi_m = \Phi_m$ перехода, а $\Phi_m = \Phi_m$ перехода $\Phi_m = \Phi_m$ перех

$$\omega = \begin{cases} m_{-1} & n = 1, 2 \\ w_{-1} & n = 1, 2. \end{cases}$$

$$\text{при } n = 1, 2.$$
(8)

Уравнення (б) позволяют определать амплитуды $C_n(t)$ только с точностью до фазовых множителей. В этом сказывается некогерентность состояния (4), которую следует учитывать, усредняя получаемые результаты по разности фаз амплитуд $C_n(t)$, что вследствие их произвольности дает $C_nC_m^*=0$, при n=m

11. Наибольший интерес представляет рассмотрение стационарного режима, характеризующегося независимостью от начальных условий. При $t = \tau^{-1}$, пренебрегая в (6) производными по времени, получим:

$$N_{\pm 1} = |C_{\pm 1}(\infty)|^2 = \frac{\xi_{\pm}}{4} \frac{(1+\sqrt{1+\xi_{\pm}})^2}{\xi_{\pm} + \xi_{\pm} \xi_{\pm} + \xi_{\pm}}; \tag{9a}$$

$$N_{\pm_2} = |C_{\pm}(\infty)|^2 = \frac{\xi_{\pm}}{4} \frac{(1 - \sqrt{1 + \xi_{\pm}})^2}{\xi_{\pm} + \xi_{\pm} \xi_{\pm} + \xi_{\pm}}.$$
 [(96)

Населенности n_{π} возбужденных атомных состоянии $\phi_{p,-1,2}$, как это следует из (4) и (9), оказываются равными

$$n_{\rho}^{+} - n_{\rho} = \frac{1}{4} \frac{1}{\xi_{+} + \xi_{+} \xi_{-} + \xi_{-}}.$$
 (10)

Следуя (3), уравнения (6) вместе с выраженнями (7) будем интерпретировать в духе полуклассической теории излучения В соответствии с предписациями этой теории вычислим спектр флуоресцении при $t = \gamma^{-1}$. Тогда вероятности несмещенного рассеяния на частотах о и о будут определяться выражением

$$w(\omega_{-}) = \frac{4\pi\omega_{-}^{2}}{3\hbar c^{2}} \left[N_{-3} |D_{-1}^{(1)}|^{2} + N_{-3} |D_{-2}^{(2)}|^{2} \right] = \frac{\omega_{0}}{4} \frac{1 + \frac{1}{2} \frac{1}{2}}{1 + \frac{1}{2}}. \tag{11}$$

где $m_p = \gamma(n_p^+ + n_p^-)$. Когерентное несмещенное рассеяние определится выражениями

$$w^{\text{xor}}(\mathbf{w}) = \frac{4\pi w^{-1}}{3\pi c} |N_{-1}D_{-1-1} + N_{-2}D_{-2-2}|^2 = \frac{1}{4} w^{\frac{2}{5}} / (\frac{5}{5} + \frac{5}{4} \frac{1}{5} + \frac{5}{6})$$
 (12)

Аналогично (11) и (12), героятность рассеяния кванта ω_{nm} нследствие перехода $\Phi_n = \Phi_m$ (n-m) будем определять соотношением w (ω_{nm}) = $-N_n w_{n-m}$. Вычисленные таким образом вероятности излучения квантов $\omega_1^2 = \omega_1 + \ell_2 + \ell_3 + \ell_4 + \ell_$

$$w(\omega^{\pm}) = w(\omega^{-}) = \frac{1}{16} w_{\pm \pm}/(1 + \xi^{-}).$$
 (13)

Излучение на частотах w* и w* при наблюдении вдоль оси z имеет o* поляризацию, на частотах w= и поляризацию.

Рассмотрим теперь излучение, появляющееся вследствие переходов Φ_{+1} — Φ_{-2} , Φ_{-1} — Φ_{-2} , Φ_{-1} — Φ_{-2} , Φ_{-1} — Φ_{-2} , которое при наблюдении в перпендикулярном оси z направлении лицейно поляризовано. Частоты излучаемых на этих $\Phi_n \to \Phi_m$ переходах квянтов. Определяются согласно (8), а вероятности излучения их в единицу времени имеют вид

$$w(\omega_{nm}) = \frac{\omega_0}{16} \frac{(A_{nm}^+ + \sqrt{1+\xi_+})(A_{nm}^- + \sqrt{1+\xi_-})}{\sqrt{(1+\xi_+)(1+\xi_-)}}$$
(14)

где для компактности записи введены величины $A_{-1-2}=A_{-2-1}=A_{-2-1}=A_{-1-2}=$

В отсутствие одного из полей в или в (г = 0 или г = 0) поперечники всех процессов (11) (14) равны нулю. Этот факт связан с тем, что, как это следует из (10), в этом случае при t^{-1} заселенным оказывается один из невзаимодействующих с полем волны подуровней.

В заключение автор выражает благодарность М. Л. Тер-Микаетяну и Л. О. Меликяну за вним иние к работе и полезные обсуждения.

Институт физических неследований Акраемии наук Армянской ССР

Ռեզոնանսային իլուոբեսցենցիան այլասերված մակարդակների վրա

Հետադրած է երկմակարդակ այլասերված ատումական սիստեմի փոխ. ազդեցությունը թիխրոմատիկ արտաքին դաշտի հետ։

նլնելով ձշգրիտ Հավասարումները՝ խտության մատրիցայի Համար ըստացված են Հավասարակշոր հավասարումներ «ատոմ արտաքին դաշտ» սիստանի քվազիմակարդակների բնակեցվածության համար հատմի ֆլուորեսցեն-ցիայի սպեկտորը՝ հաշվի առնելով ինտենսիվության Հֆեկտները։ Հետազոտակած են ցրված ձառագայթման ընհոային հատկությունները։ Ստացված արարունքները թույլ են տալիս բացատրել ռեզոնանսային ֆլուորեսցենցիայից կատարված փորձերի արդյունքները, որոնք անց են կացվում առանց ոչ այլատերվուծ երկմակարդակ սիստեմի հարնարոր նախապատրաստման։

ЛИТЕРАТУРА — ЧРИЧИВИКИ ВИКЪ

² М.Л. Тер-Микаелян, А.О. Меликин, ЖЭТФ, 1.58, 281(1970). ² Б. В. Крыжановекий, Препринт ИФИ 83, 1978. Аштарак, Ари. ССР. ³ В. V. Kryzhanovski, А.О. М. М. Ортісь Communications, 29, 164(1979). ⁴ Р. W. Millont, W. A. Smith, Phys. Rev., A11, 814(1975). ⁵ O. Klein, Zs. 1. Phys., 41, 407 (1927). ⁴ Л. Шифф, Киантовая механика, И.Л., М., 1956 LXX 1980 1

3', JK 523 035

АСТРОФИЗИКА

Г. А. Арутюнян

Образование спектральных линий в атмосфере с экспоненциальным распределением источников

(Представлено академиком В А Амбарцумином 15/VII 1979)

В работе (1) была рассмотрена одномерная задача об образовании спектральных лишій при общем законе некогерентного рассеяння и произвольном распределении внутренних источников энергии $\varepsilon(z,x)$ по оптической глубиче z, отнесенной к центральной частоте линии. Было показано, что интенсивность излучения, выходящего из полубесконечной атмосферы, I(x), удовлетворяет следующему интегральному уравнению:

$$v(x)/(x) = \int p(0,x',x) z(x')/(x')dx' = (0,x) \int c(0,x')p(x',x)dx' + \tilde{I}(x).$$
 (1)

Здесь v(x) = z(x) дега z(x) профиль коэффициента поглощения в линии в зависимости от безразмерной частоты x, β —отношение коэффициентов поглощения в непрерывном спектре и в центра линии. Далее через I(x) обозначена интенсивность ныходящего излучения при распределении внутренних источников по закону $\frac{\partial z(z,x)}{\partial z}$ p(0,x',x)dx

представляет собой вероятность того, что квант с частотой x', поглощенный на глубине выйдет из среды в виде кванта с частогой, заключенной в интервале (x,x-dx), и $\rho(x,x)$ функция отражения от полубесконечной среды.

В тех случвах, когда функция перераспределения по частотах допускает представление в виде билипейного разложения по некоторой системе ортонормированных функций $\{a_k(x)\}$, как известно $\binom{1.7}{2}$, имеет место

$$a(x') \, \rho(0, x', x) = \frac{1}{2} \sum_{k=0}^{\infty} A_k \, \varphi_k(x) \, a_k(x') \tag{2}$$

$$\frac{1}{2}\sum_{x=0}^{\infty}A_{x}\frac{\varphi_{h}(x)\varphi_{x}(x)}{v(x)+v(x')}$$
(3)

где и вероятность "выживания" кванта при элементарном акте рассеяния Постоянные A_k зависят лишь от закона перераспределения в функции $\phi_k(x)$ определяются из следующей системы функциональных уравнений, являющихся обобщением уравнения Амбарцумина на общий случай некогерентного рассеяния

$$\varphi_k(x) = z_k(x) - \int \varphi(x', x) z_k(x') dx'. \tag{4}$$

При задвином I(x) решение уравнения (1) с использованием (2)— (1) не представляет трудности. С этой точки зрения весьма интересным является случай первичных источников энергии, мощность которых убывает по экспоненциальному закону с оптической глубниой г. Случай указанного закона распределения первичных источников представляет важность с точки зрения астрофизического приложения. Распределение внутренних источников энергии можно принять экспоненциальным, в частности, при интерпретации контуров эмиссионных линий, образующихся в солнечной хромосфере (см., например, (34)).

Пусть теперь

$$\varepsilon(z,x) = u(x)e^{-mz}, \tag{5}$$

где w(x) некоторая функция, описывающая зависимость первичных источников от частоты. Тогда нетрудно убедиться, что

$$I(x) = -mI(x), (6)$$

а уравнение (1) принимает вид

$$I(x) = \frac{1}{v(x) - m + 2} \left[\frac{1}{2 - m} \right] = \frac{1}{2 - m} \left[\frac{1}{2 - m} \right] \left[\frac{1}{2 - m} \right] = \frac{1}{2 - m} \left[\frac{1}{2 - m} \right] \left[\frac{1}{2 - m} \right] = \frac{1}{2 - m} \left[\frac{1}{2 - m} \right] = \frac{1}{2 - m$$

гле

$$I_{k} = \int I(x) \alpha_{k}(x) dx. \tag{8}$$

Умножая (7) на г_{*}(х) и интегрируя по всем частотам, для определения неизвестных коэффициентов /_{*} получаем следующую систему алгебраических уравнений:

$$I_{\alpha} = \sum_{k=0}^{\infty} \gamma_{nk} I_{n+} \delta_{n_{k}} \tag{9}$$

где обозначены

$$\gamma_{nh} = \frac{1}{2} A_k \int \frac{a_n(x) \phi_k(x)}{v(x) + m} dx, \quad n = \int \frac{a_n(x)}{v(x) - m} w(x)$$

$$\int w(x') \rho(x', x) dx' dx. \tag{10}$$

При конкретизации задачи для различных моделей атмосфер должен быть изпестен вид функции w(x), и, очевидно, задачи может быть решена очень просто.

а) Если внутренние источники излучают лишь в непрерывном спектре, то w(x) = a = const и, следовательно,

$$a_n = n \int z_n(x) \frac{1 + R_{oro}(x)}{v(x) + m} dx$$
 (11)

где

$$R_{\text{orp}}(x) = \int \rho(x', x) dx' \tag{12}$$

контур спектральной линии, образующейся при отражении от полубесконечной среды излучения единичной интенсивности в непрерывном спектре.

Мы видим, что решение задачи целиком выражается через ф»функции Амбарцумяна, определяющиеся из системы (3)—(4).

б) Пусть теперь первичные источники излучают лишь в линии Тогда $w(x) = c\sigma_0(x)$, и вместо (?) и (9) будем иметь

$$I(x) = \frac{1}{2} \sum_{h=0}^{\infty} A_h I_h \frac{\varphi_h(x)}{v(x) + m} + c \frac{\varphi_h(x)}{v(x) + m}; \tag{13}$$

$$I_n = \sum_{k=0}^{\infty} \gamma_{nk} I_k + \gamma_{nk} \tag{14}$$

Интенсивность выходящего излучения особенно просто выражается при полном перераспределении по частотам, кигла

$$A = \begin{bmatrix} 1, & \text{ec.ii} & k = 0 \\ 0, & \text{ec.ii} & k = 0 \end{bmatrix}$$

Тогда имеем

$$I(x) = \frac{\varphi_0(x)}{v(x) + m} \left(\frac{n}{2}I - c\right). \tag{15}$$

гле

$$I = c_1/\left(1 - \frac{\lambda}{2}\tau\right). \tag{16}$$

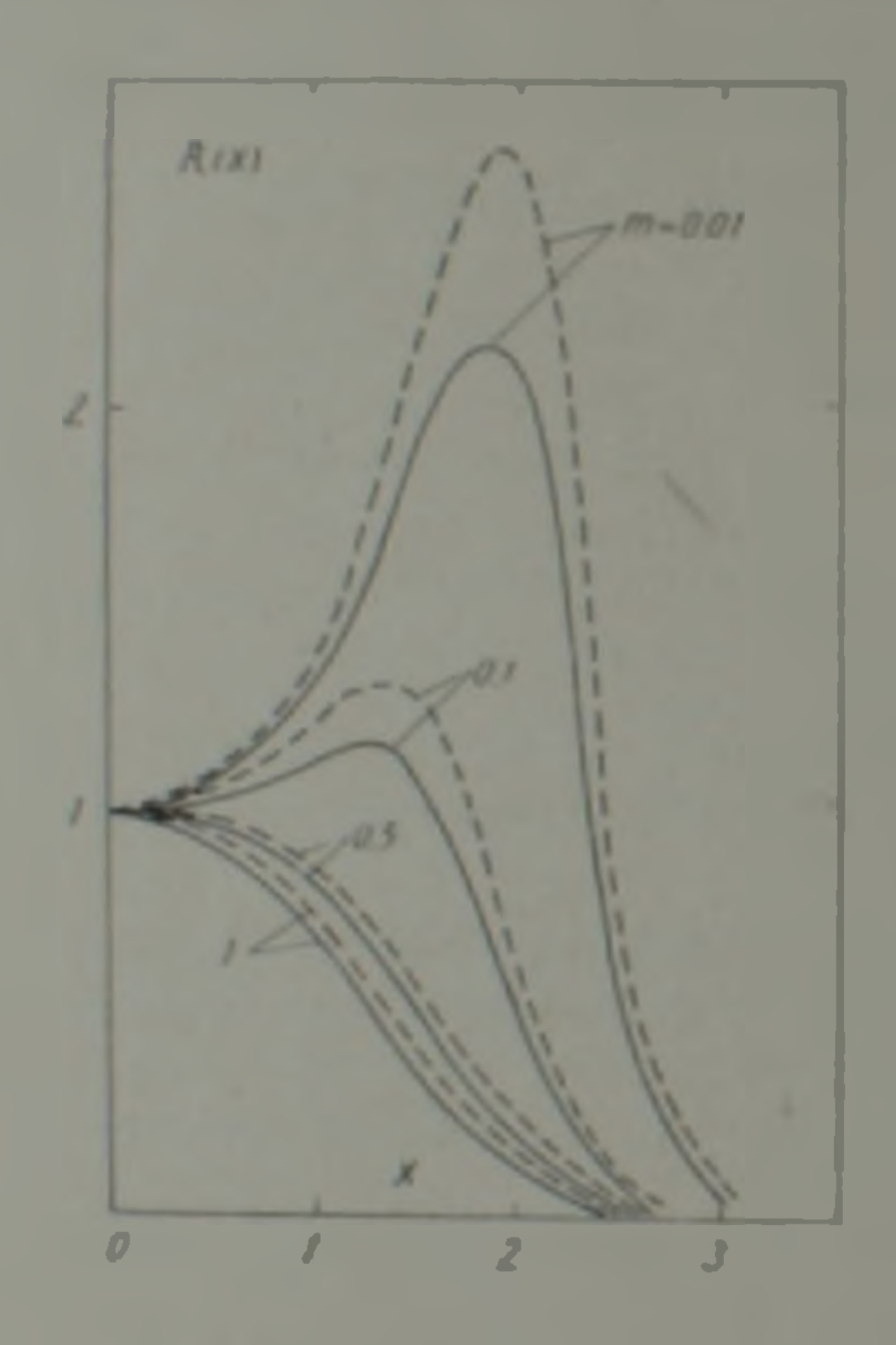
причем для упрощения записи опущены мулевые индексы у величии

Пользуясь системой уравнений (3) (4) в приближении полного перераспределения, окончательно находим

$$\frac{c}{a_0(x_0)} \frac{\varphi_0(x)\varphi_0(x_0)}{v(x) m}$$

где x_0 определяется из равенства $v(x_0) - m$.

Заметим, что выражение (17) другим путем было найдено в (3).



Контуры линий излучения, выходишего из атмосферы с экспоненциальным распределечием источников при А 0.99 и В 0.01: —— правное перераспределение, —четвертое праближение

В качестве излюстрации на рисунке показаны контуры спектральных линий излучения R(x) = I(x)II(0) при полностью некогерентиом рассениии и чисто доплеровском законе перераспределения по частотам (в четвертом приближении, т.е. когда в суммах (13) и (14) ограничиваемся рассмотрением лишь первых четырех слагаемых). Интенсивности выходящего излучения рассчитаны по формулам (13) и (15) В последнем случае

$$A_1 = \frac{1}{2k+1}$$
, $\sigma_b(x) = \frac{a(x)H_{lb}(x)}{\pi^{(1)}2^k\sqrt{(2k)!}}$.

гле $H_k(x)$ —полияом Эрмнта k-й степени и z(x) — $\exp(-x^2)$ -

Приведенные графики указывают на значительное количественное различие между интенсивностими, вычисленными при двух указанных иконах перероспри зелении по частотам. Отглонения тем больше, чем меньше температурный градиент в атмосфоре, т. е. чем меньше m. В частности, при m = 0.01 и $x \approx 2$ отклонения достигают 20%.

В заключение отметим, что все полученные в настоящей работе результаты иструдно обобщить на трехмерный случай. Уравнения, соответствующие (1) при различных предположениях относительно геометрии элементарного акта расселиня, приводятся в работе (°).

Антор выражает свою признательность А. Г. Никогосяну за обсужение полученных результатов

Быраканская астрофизическая обсерватория Академии наук Арминской ССР

2. M. JEFAPPSAPLSEL

ում դերաշտում գցրեր աստանամուղը բլոսկորբացիան ետներվացուհնարե տաեւուբը-

ասանյուն լրիվ վերարաշիսնան մոտավորությամբ ստացվող սպեկտրալ դժերի կոնտան և երև հարաշիսնան արդյունըները։

Մանական են հարա արդյուն արդարինելու մեսը այն հարաշիսան հարարինելու մեսը այն հարաշիսան հարարանին գ։

Մի դեպրում է, եթե այն են Համրաբեռամյանի գ։

Մի դեպրում արդյունըները։

Ար դեպրում արդյունըները։

Ար դեպրում արդյունըները։

Ար դեպրում արդարան մոտավորությամբ ստացվող սպեկտրալ դժերի լուտանությամբ ստացվող սպեկտրալ դժերի լուտանությունըները։

JHTEPATYPA-PPUNKERPBAPE

1 Г. А Арупонан. А. Г. Никовогин ДАН СССР, т 242. 66 (1978) 11 А На-глійушлівн А. С. Nihoghossian, J. Quant Spectrosc Rad. Transfer. v 19. 135 (1978). В В. Соболев, Кірс теоретической астрифизики. . Наука, М., 1975 1 R. С. Лійау. Radiallun Transport in Spectral Lines. D. Neidel Publishing Company Dordrecht. 1972 В В Навила. Перетис получения и спектры небесных тел, .Наука, М., 1969. 1 Л. Накогоски, Г. Л. Аруппинии, Амігорії. Sp. Sci., т С4. 269 (1979)

LXX

1980

АСТРОФИЗИКА

NДК 523.858

Г. Т. Петров

Содержание полов и химический спстав и ядрах сейфертовских галактик типа 2 и радиогалактик с узкими линиями

(Предстивлено акалемиком В. А. Амбариуменом 29/VII 1979)

В работе (1) было определено содержание некоторых ноноя в этомов в эдрах ряда сейфертовских салактик (СГ) типа 1 и радиогалактик с впирэжими лишиями (РГШЛ). Применялась методика, описанияя в (2). Настоящая заметка является продолжением работы(1) в содержит рассчитинные тем же способом данные для 23 сейфертовских талактик типа 2 и 16 радиосалактик с узкими лишиями (РГУЛ), Результаты слежгра ротоматрии сейфертовских галактик типа 2 и радиогалактик с узкими лишиями разты на работ (2-0).

В $(^3)$ приведены средние электронные илотности и температуры 31 сей рерговских гдлактик типа 2 и радиугалактик с узкими лициями. Электронные илотности определялись по относительным интенсивностим ланий понизованной серы [6717/6731], и использованись для определения электронных температур по лициям дважды понизованного кислорода [OBI] [0.4363/0.4959 + 0.5007]. Полученные средине значения таковы: $\langle \log n_e \rangle = 2.8$; $\langle \log n_e \rangle = 1.13$; n = 34 и $\langle \log T_e \rangle = 4.25$; $z(\log T_e) = 0.20$; n = 28. Нам представляется, что столь низьие значения n_e и высокие значения T_e ивляются результатом того, 970 в $(^3)$ игнорируется стратификацая излучения, хотя и отмечается существование лиух зои ионизации. Поэтому приведенные и $(^3)$ температуры, вероятно, надо рассматривать как верхине границы.

Используя данные, приведенные в (*), мы определяли плотности и температуры для зон [ОП] и [ОП] в отдельности. Эти параметры для зон [ОП] определялись по линиям [NII] гла7а5, 6548 и 6584 и [SII] для 1068, 4086, 6717 и 6731. Относительные интенсивности перечисленных линий определены для 9 объектов. Средние значения электронных гемператур и плотностей и их дисперсии таковы:

 $\lg T_e > = 3.92; \ \imath (\lg T_e) = 0.23; \ \langle \lg n_e = -4.38; \ \imath (\lg n_e) = 0.51.$ Для сравнення укажем, что по линиям[SII] ил4068, 4086, 6717, 6731 п

|ОШ| ii 1363, 4959 и 5007 получается: $\langle \lg T_e \rangle = 4.27$; $\sigma(\lg T_e) = 0.16$ и

=3.84; :(ga_c)=0,37 для 22 повектов. Ливон равных отвениелия [NIII 1.5755, [46548 + 36584 и [4011]] (4363 4.4950 - 5007 ие пересекаются.

Поскольку данные о липин перва (ХДП) (3343 не приведены, то однозначное определение и и Т. для зоны |ОШ непоэможно. Поэтому температуры определялись по линиям ОШ и 1353, 1959 и 5/317 для $\lg n_c = 5.5; 6.0$ и 6.5 с. s^{-3} . Спответствующие средные значения по 35объектам следующие: $< lgT_{**} = !, [4; 4, (Ж) и 3, 88]$. Сразнение этих чисел с даниции, приведенными в (1), коказывает, что значения электронных температур в сейфертовских газактиках тип 1 2 и радаогалакиках с узкими липпими соввадают с их значеннями и себфертовских галактиках тапа І в случаях, когд засктронные на плосте в объсктах тина 2 примерна на полооридка шеже, чем и объектах тапа 1. Это качественно согласуется с результатами Пойгебауера и др. (1), а также с результатом, получениям М. А. Араксичным (*) по характеру зависимости интенсивностей запай от показателе и пвети. Следует отметить. вто отношение [OIII] 1 1363/h4959 /5007 во всех случных равно ван больше 0.008, что означает, что для $1gT_c = 1.0$ во всех случаях Іди. 5.0. На основании этих результатов содержание понов и промов определялось нами при $T_c = 10000 \, {\rm K}$. Даниые для 32 объектов привелены в табл. 1, которая содержит лагарифам чиссл ионов и атомов лая галактик, перечисленных в первом столбце, в предположении, что число водородных атимон равно 1032.

Для срашения и табл, 2 приведены средние значен са логарифмов чесел попов и отомов для радногатактик с инпрокими лициями, сейфертонских галактик тапа 2 и радногалактик с узкими линиями, гуманичести Ориона, планстарных

туманностей (ЦлТ) и лвезд.

На основании полученных результатов можно следоть следующие заключения.

1. Сейфертовские галактики типа 2 и радиогалактики с узкимы диниями имеют в среднем откосительное содержание гелия в долтора раза меньшее, чем сейфертовские галактики гипа 1. т. е. примерно та кое же содержание, как туманность Ориона или планегарные фуманности, к в полтора раза больше, чем радиогалактики с инрокими диниями.

2. Сейфертовские галактики типа 2 и радиогалактики с узкими ливиями солержат примерио на порядок больше злота и в иять—воесмы раз больше кислорода, чем сейфертовские галактики типа 1 или радио-

галактики с инпрожими линиями.

3. Содержание серы примерно на порядок больше, кем в сейфертовских галактиках типа I или в радногаллктиках с широкими ляния-

ми, в примерно таково, как в звездах или в туманности Орнона.

4. Возможно, что лысокое отношение (О ПП]/П в сейфертывских галактиках типа 2 и радиогалактиках является следствием попышенного содержания кислорода, по сравнению с сейфертовскими галактиками типа 1.

Спасржание поши и этомов и сепфертопских галактиках типп 2 и разпоголиктиких с

UNKCKT	14.2	5+	G	()+	[]=0	1104	flet	He	N	13	5
Established to the	1 - 1-			Lange	la series	1 4=	1.0.50		1:00		
Majikalish 17ti	7 0 (1)	0.65	7,77	A-11	15 . (31)	30.47	10.63	11.91			
Маркарии 3	05-5	6-83	7.47	5.13	100.0	10.79	111-26	10 -90			
1063	7,12	0-55	7.72	3-176	1 6.59	11-04	10.61	11.18			
Мирикария 523	7 - 39	6.8.3	7.63	R.OLS	4,58	10-87	10.50	11.63			
îß	7.55	S 4 2 2	7.61	h+25	E vak	10.82	10 5-1	1 63		40	
3.18	7 ()	3-(1)	6.17	X : 24	0.14	10.95	10.34	11.01	The same of the sa		
.11	1.34	1115.1	7.67	8.17	8.6	10.95	10,45	11.08			1000
	7.51	Traftist.	7.97	8 163	6	10.87	10,44	11 -11/2	10000		
Marshamun 270	7 old	i o(x	8.115	Sails.	K 11	11.15	10.31	11.20			
11Xw 55	7.79	10 - 741	1,43	P (55)	5 . 34	141.43	111-31)	1(1-34)			Park Contract
ปลายเมายา	1.55	Cochi	ivil	1.00	N.21	10.01	9.85	10.445			
(in)	5 . Kin	7.31	1.00	15.11.	N . \$%	10.85	3.90	10.00			
Majorapen 274	1 .11.	61-1661	2 - 4	4.50	6.13	10.52	10.52	la-85	2000		0 - 34
7.4 81	7:48	रा वर्ध	1 1481	1	7.95	11.28	1				
With their Tree	7,3114	Pres 1	7.73	8 - 24	7.78	10.87				भ । स	The second second
: (17	7 - 34	fir la	7.63	7-59	3.30	183-01			The second second	7.36	
Hapkayan its	7 -91	41-12	ritte	3,69	7.23	111.4.3		10 115		N - 1) Si	
etic, wint	5.49	trotal	7429	2-3	1.18	11)-91	0.75	10.95	10 - 5161	8.11	1001
Antikahan 218.	7 -112	0 - 58	7 .((!)		7.15	111-15					
r)	7.415	6.74	7.6.3	8,112		11140				Moh?	
.11.5	7-42	6.50	7 - 3-5	7.93	7.91	11.32				5.27	
372	र क्षा	7.10	N. 1h	4.2	1. 31	11,49				8.79	
Иаркарын 12	Ty y de	Stork!	9110	- 00	7.11	(1) . 147	10			7 (18)	
3C. 33	1111	0.84	7-97	HAND	8.111	10.15	141.41	11.01		181	
154.1	(M) 5	6.41	7.48	7.93	8 .53	111.00	10.43	11.11		i didi	
4:41	7591	7.45	7 . 114	hain	2442	11.36				חאוא	
452	7.75	6.31	8.30	8.27	18.8	111-11	3.38	11.15			
3 1 00	7 . 2:	b. 18	7.18	7 - 57	7.26	111.91					
IC 33	7.1.0	7.15	5.11	6.22	Solin	1000000	Ohill			Stabil.	
98	7 - 68	7.01	8.17	8.33	3,69	11.40	10.48	11.15			
178	7.11	linda	7-10	86	7.20	iD.	10.130	10.50			
	7 - 5.6	47-11-	7.79	8-26	6.41	11.15	10.20	11.20			
327	7.5%	90.17	7.70	5.01	8.63	10.98	10.517	11,11			
327	7.13	6.82	7-59	7+62	8.77	10.57	10 450	11.04			
934 63	7.58	6.72	1.38	h-1-4	8 - 43	183.9	11 12 140-5			8.95	
325-12	7.34	7.05	8-07	8.41	70	10.32	9.78	(0.7%)			
VGC 10.2	83-63	3.12	8.23	5.57	7.54	102/50/20	Course Co			8.81	
NGC 3506	7.65	7-116	480	1.45	X 90	10 . N.	10.53	10.93			
LygA	3.94		5.28	8.23	8.18	10.76	10.33	111.98	23	8.70	3.48

Примечанте Даз главктика 3С 33 содержание чанов и аслязв определьнось ил итпосительным интенсивностки анили, приведенных соптиетственно в (2) и (1), а для главстики 3С 222 в (4) и (1).

Таб ина 2

Cpealler co.	apples a mar	MONOR H	STUNUH	2.78 1	CHADLORRY	DÜREKTOR
Alle Marian and		The second second				

Сіблекты	Ni	S	()	()	0 +	He	He	He	S	0	S	ħ
Clama I Platin Clamate Clamate	6.47	5-17 (3-61 5-94	7.h2	7.35 N.01 8.51 7.61	7.09 7.72 8.19 8.24 8.49		10.34 10.07 10.30 30.03	10.85	7.08 7.78 8.18	8 -06 8 -63 8 -75 8 -75	6.35 7.25 7.41	15

5. По содержанию понов и этомов сейфертовские галактики типа 2 и радкогалактики с узкими линиями неотличимы друг от друга. В (3) отмечается, что это два типа галактик по своим спектральным характеристикам образуют одну сруппу. Наши вычисления этому выно-ду не противоречат.

Приведенные результаты получены в предположения, что нее рассмотренные линии в каждой галактике образуются в том же объеме.
Если это предположение далека от истины, то и применение использованной методики лишено смысла. Однако близость испечиналов волизаини новов, линии которых рассмотрены выше, позволяет пологать,
что полученные значения параметров близки к их истинным значениям.

Ерепанский государственный университет

y, s. ausring

- արտին Սելֆեշտի դալականիկաների և առաքման նեղ զձեռով ռադիոգալակարկաների միջուկների քիմիական բաղաղությունը և իոնների պարունակուըլունը

2 տիպի 23 Սելֆերաի դալակտիկաների և էն առաջման նեղ դձնրով սա դիոդալակտիկաների համար որոշված են որոշ իոնների և ատոժների Հարաթերական բանակությունները։

9 JERTEPATSPA-SPREEDINGSBEE

** I Hetpov, HAII Apm CCP, т 69. 52 (1979). * I. I. Hetpov, Письми в АЖ. 5. 267 (1979). * A. T. Koski, Ap. J., 223, 56 (1978). * R. Costoro, I). E. Osterbrock, Ap. J., 211, 675 (1977). * M. V. Penstov, R. A. E. Fosbary, M. N. R. A. S., 183, 479 (1978). * D. G. Osterbrock, J. S. Mitler, Ap. J., 197, 535 (1975). * G. Neugebauer, E. Beclin, J. B. Cost. L. Seurle, Ap. J., 205, 29(1976). * M. Л. Аракелин, Астрофизика, 13,427 (1977). * M. Pelmbert, S. Torres Pelmbert, M. N. R. A. S., 178, 217 (1977). * M. Pelmbert, S. Torres-Pelmbert, Ap. J., 168, 413 (1971). * L. H. Atter, S. Gzyzak, 1843 Symp. 34, 209 (1968).

LXX 1980

УДК 523 855

АСТРОФИЗИКА

С. Г. Искударан

Критерий М. — М.

(Представлено вкадемиком В А Амбарцумяном 19.VII 1979)

Считая важным вопрос о том, определяют ли свойства ядра неядерные характеристики галактики, В А. Амбарцумян (1) выдвигает на первый план точку зрения, согласно которой состояние галактики должно быть объяснено всей историей активности ее ядра, т. е эти два фактора — история ядра и состояние галактики должны быть взаимно связаны. Он вносит критерий $M_{\bullet}-M_{r}$, который можно считать одням из индикаторов, характеризующих состояние галактики

- В. А. Амбарцумян (1) вводит пять групп для галактик по мощности их ядер:
 - 1 галактики без каких-либо заметных ядер или значительных сгущении в центре;
 - II галактики, имеющие спокойные ядра сравнительно инзкой светимости, М₀—М₁>4.0;
 - III галактики со спокойными ядрами высокой светимости, 1.75 < М. М. 4 ° 0;
 - IV сейфертовские галактики с очень яркими ядрами,
 - V компактные галактики. Для последних за верхнюю границу значений разницы М. -- М. мы взяли значение 0.5.

Это разделение на группы является совершенно независимым от разработанной В. А. Амбарцумяном и его сотрудниками «Бюраканской классификации» галактик, основанной на внешнем виде их центральных областей (1 в). Однако I группа почти полностью совпадает с бюраканским классом 1. 11 группа частично совпадает с бюраканским классом 2. 111, IV, V группы не совпадают с бюраканскими классами 3. 4. 5. однако представители последних трех встречаются в каждой из групп 111, IV, V

Рассмотрим табл 1, которан показывает процентные доли каждой группы среди Sa, Sb, Sc галактик.

Отметим, что разделение галактик по значениям этих индексов зависит от того, инструментами какой разрешающей силы мы ведем наблюдения ядер. При классификации галактик по форме их ядер и окопоядерных областей ядра нормальных спиралей наблюдались почти неключительно на 21"-ом Шмидте Бюраканской обсерватории (* *), из чего следует однородность всего наблюдательного материала для такой работы.

Таблица 1 Распределение Sa. Sb, Sc галактик по группам согласно критерию Ма-Мг

Группы по	HT						
критерию Мо Мг	Sa	Sb	Sc				
V 1V 111	A 22 69	1 8 82	0 1 26 B 68				
i	Ü	ő	6				

Главное, что мы замечаем, посмотрев на табл. 1, это присутствие так сказать «главной последовательности» по направлению AB. Sa галактики имеют относительно яркие ядра и даже содержат небольшую долю галактик V группы. Среди нормальных спиралей, конечно, нельзя ожидать компактных галактик, но в V группу, т. е. в группу компактных галактик, мы включили все те галактики, которые удовлетворяют неравенству $M_0 - M_r < 0.75$. Среди Sa галактик имеется также заметный процент галактик IV группы, т. е. той группы, в которую вхолят сейфертовские галактики. Однако сюда входят также и такие галактики, которые, по своим спектральным характеристикам могут быть и не сейфертовскими.

Подавляющее большинство Sa галактик имеет спокойные ядря высокой светимости Галактики со спокойными ядрами низкой светимости составляют малую долю среди Sa галактик, а первая группа отсутствует, т. е. нет такой Sa галактики, которая не имела бы ядра

Распределение Sb галактих по группам качественно не отличается от распределения Sa галактик. Следует отметить только, что Sb это тип, где доминируют галактики со спокойными ядрами высокой светимости. У Sc галактик доминирует П группа, куда входят галактики со спокойными ядрами низкой светимости Среди Sc галактик плиети ный процент составляют галактики со спокойными ядрами высокой светимости (26%) Галактик сейфертовской группы в этом классе почти нет, нет также компактиых галактик. Следует отметить, что галактики IV группы, а тем более действительные сейфертовские галактики составляют малую долю среди пормальных спиралей, несмотря на то, что именно среди них были найдены первые классические сейфертовские галактики.

Рассмотрим связь бюраканских классов 5 и 4 с группами по критерию М. Мг. Рассматриваются только галактики со звездообразны-

ми и звездоподобными ядрами, так как в центральных частях галактик остальных бюраканских классов (классы 1, 2, 3) сгущения с определенными границами не наблюдаются. Распределение пормальных спиралей бюраканских классов 5 и 4 из списков (4 6) по группам согласно критерию $M_* - M_r$ приводится в табл. 2.

Распределение нормальных спиралей со звездообразными и звездоподобными ядрами по группам согласно критерию Ми Мг

БК	n	V	IV	111	11	1
5	22 88	0	18	64 72	18 18	0

В последовательных столбцах приводятся бюраканские классы, общее число галактик и в соответствующем бюраканском классе и проценты, составляемые галактиками данной группы по критерию M_4 — M_7 среди галактик данного бюраканского класса. Самое главное в табл 2 это встречаемость, в приведенных бюраканских классах, галактик разных по критерию Амбарцумяна групп, что, по-видимому, говорит об их нахождении на разных ступенях эволюции. Из таблицы видно также, что знездообразные и звездоподобные ядра нормальных спиралей предпочитают III группу, т. е. они — споконные ядра высокой светимости. Галактики со спохойными ядрами низкой светимости (II группа) составляют одинаковый процент среди галактик со звездообразными ядрами (класс 5) и звездоподобными ядрами (класс 4).

С целью сравнения характеристик звездообразных и звездоподобных ядер галактик разных Хаббловских типов и разных групп по критерию $M_* - M_r$ в табл. З мы приводим данные об этих ядрах.

В первом столбце таблицы даются Хаббловские типы, во втором—бюраканские классы галактик, в третьем — группы галактик согласно критерию М.— М., в четвертом, пятом и шестом столбцах приводится соответственно средние абсолютные величины ядер, средние значения показателей цвета ядер в интернациональной системе и средние значения разницы М.— М., Здесь следует отметить, что значения интернационального цвета звездообразных ядер Sa и Sb галактик в некоторых случаях не согласуются с электрофотометрическими данными В—V цветов этих же ядер, измеренных авторами работы (7). Однако для однородности наблюдательного материала мы все же пользовались данными работ (5 6). В седьмом столбце приведны числа галактик и в соответствующем бюраканском классе и группе по критерию М.— М., Данные об абсолютных величинах Sa, Sb, Sc галактик и их ядер, а также о цветах ядер этих галактик взяты из работ (4-6).

Из таблицы видно, что в каждом Хаббловском типе звездообразные ядра в среднем тем голубее, чем выше группа по критерию М.-М., но та же корреляция у Sb галактик выражена несколько слабее, чем

Тоблица З Пекоторые средние карактеристики пветдообразных и звезлоподобных ядер кормальных спиралей разных групп по критерию Ма-Мг

HT	БК	Группа по крятерию Ма — Мг	$\widetilde{M_0}$	CI.	Ma-Mr	n
Sa	b	111 1V	-17m6 19 6	+0m8 0 3	2m2 1.0	3
Sb	5	11 111	14 9 16.8	0 8 0 5	4.7 2.6	6
Sc	5	II III IV	13 4 17. 5 17. 3	1. 0 0 3 0. 1	6. 2 2. 5 1. 5	3 5 1
Sa	4	III iV V	17.8 18.5 18.9	0.8 0.6	2.3 1.4 0.4	16 5 1
Sb	- 4	II III IV	15.1 17.5 18.2	0 9 0 8 0.9	5.9 2.6 1.1	4 28
Sc	4	11 111	15.0 16.2	0.8 0.6	4.7 3.2	12 21

у Sa и Sc галактик. Следует отметить, однако, что замеченная здесь корреляция основывается на данных для малого числа галактик со звездообразными ядрами. Но имея в виду факт, что единственная Sb галактика II группы имеет красное звездообразное ядро (+0°°8) и единственная Sc галактика IV группы имеет почти голубое ядро (-0°°1), а также что Sc галактики II группы имеют в среднем очень красные ядра, в то время как вообще для Sc галактик это редкое явление, исе это, по-видимому, трудно считать простой случайностью. Это скорее всего говорит в пользу существующей корреляции. У галактик же со звездоподобными ядрами (класс 4) с повышением группы по критерию М_п—М_г средний цвет ядра в приведенных группы по критерию М_п—М_г средний цвет ядра в приведенных группы по критерию М_п—М_г средний цвет ядра в приведенных группах почти не меняется, оставаясь в интервале от +0°°6 до -0°°9.

Средние значения абсолютных величин звездообразных и звездо подобных ядер галактик разных Хаббловских типов растут с повышением группы по критерию $M_n - M_r$, что, естествению, следует и определения самих групп, так как среди значений абсолютных величин самих нормальных спирален не ожидается большой диссперсии.

Средние значения $M_n - M_r$ при переходе от Sa галактик к Sc ведусебя по-разному. Галактики всех трех Хаббловских типов со спокой ными звездообразными ядрами высоких светимостей (П1 группа, класс 5) показывают почти равное среднее значение разницы $M_n - M_r$ Среднее значение M_n M_r несколько растет при переходе от Sa к Sc для спокойных звездоподобных ядер высоких светимостей (П1 группа, класс 4) Почти совпадающие по средним значениям характеристики показывают спокойные звездообразные ядра высокой светимости Sa

галактик (III группа, класс 5) и спокойные звездоподобные ядра высокой светимости Sa галактик (III группа, класс 4). По-видимому, такие ядра в типе Sa не отличаются друг от друга по своей природе, как и галактики, которым они принадлежат.

Совпадают друг с другом средние значения характеристик \$h галактик со спокойными звездообразными ядрами низкой светимости (II группа, класс 5) и \$C галактик со спокойными звездоподобными ядрами низкой светимости (II группа, класс 4). Однако во II группу входит голько одна \$b галактика со звездообразным ядром, гак что такое совпадение может быть и случайным. Звездообразные ядра \$a галактик III группы имеют среднюю абсолютную величину более высокую, чем такие ядра \$b галактик, но они по светимости одного порядка со звездообразными идрами \$C галактик этой же группы.

Таким образом, нельзя отрицать возможность существования некоторых характеристик звездообразных и звездоподобных ядер, которые не зависят заметно от морфологического типа нормальных спиралей, обладающих этими ядрами. В данном конкретном случае такими характеристиками являются средние значения цвета ядер каждой из групп, определенной согласно критерию $M_n - M_r$.

С другой стороны известно, что звездообразность ядра является признаком активной фазы жизни ядра (9). На основании некоторых фактов существует также предположение о долговечности звездообразных ядер (10). По идее же В. А. Амбарцумяна это ядро (как и всякое ядро) всей историей своей активности ответствено за состояние галактики, и, действительно, как указывалось в настоящей работс, среднее значение одной из его характеристик (С1) коррелирует с одним из индикаторов состояния (М_в — М_г) нормальных спиралей независимо от их морфологического типа.

Таким образом, критерий В А Амбарцумяна разделяет звездообразные ядра нормальных спирален, независимо от их морфологического типа, на определенные группы согласно значению их цвета и тем самым как бы является градуирующим фактором для ядер этого типа.

Бюраканская астрофизическая обсерватория Академии наук Армянской ССР

U 9 PUUNFYELSEV

M_n — M_r շափանիշը

չափանիշի։ Խարձր խմբի են պատկանում պարուրաձն գալակտիկաների՝ համաձայն հարան արկաների աստղաձն կորիզննրը միջինում այնքան ավնլի կապույտ են, որքան Անկախ գալակտիկաների Հաբլյան տիպից, նորմալ պարուրաձն դալակ-

Անկախ գալակտիկաների Հաբլյան տիսյից, նորմալ պարուրաձև գա-

 $M_{\rm s} = M_{\rm s}$ չափանիշի մի խմբից մյուսին անցնելիս, գրե β ե չի փոխվում և մնում $M_{\rm s} = M_{\rm s}$ չափանիշի մի խմբից մյուսին անցնելիս, գրե β ե չի փոխվում և մնում $M_{\rm s} = 0^{\rm m}$ 8-ից $+0^{\rm m}$ 9 միջակայթում։

Վերոհիչյալը խոսում է այն բանի ւնարավորության մասին, որ կարող են գոյություն ունենալ աստղաձև և աստղանման կորիզների այնպիսի հայտաւնիրներ, որոնց նկատելիորեն կախված չեն այն գալակտիկաների մորֆոլոզիական տիսլերից, որոնց սյատկանում են այդ կորիզները։ Դիտարկվող դեպքում նման հայտարկվող դեպքում գերը։

M_a— M_i չափանիշը աստղաձև կորիզների համար կարձես աստիձանավորող ֆակտորի դեր է կատարում։

4-րդ խմերի գալակտիկաները, առավելես իսկական սեյֆերտյան գալակտիկաները, վորթրամասնություն են կաղմում նորմալ պարույրների շրջանում, նայած այն թանին, որ առաջին դասական սեյֆերտները գտնվել են շենց նորմալ պարույրների մեջ։

ЛИТЕРАТУРА— ЧРИЧИБИЕРВИЕЬ

1 V. A. Amburtsumian. Solvay Conterence Report. Bruxells, 1964 ² S. S. Iska-Aarian et al., Communicati n IAU. Praha, 1967 ¹ Бюраканский сводный каталог галактик. Сообщ. Бюраканской обс. 47, 43 (1975). ¹ С. Г. Искударян, «Астрофизика», 4, 385 (1968). ¹ К. А. Саакян, «Астрофизика», 5, 593 (1969) ⁸ К. А. Саакян, «Астрофизика», 4, 41 (1968) ⁷ Э. А. Дибай Г. В. Зайцеви В. М. Лютый, АЖ., 46, 240 (1969) ⁸ С. Г. Искударян, Сообщ. Бюраканской обс. 46, 62 (1975). ⁸ Г. М. Товмасян. «Астрофизика», 2, 419 (1966) ¹⁰ С. Г. Искударян, «Астрофизика», 11, 362 (1975).

LXX 1980

3', JK 546 683 + 547 86

АНАЛИТИЧЕСКАЯ ХИМИЯ

Чин корреспондент All Арминской ССР В. М. Тараян Ф В Мирзоян, Ж В Саркисян, Ж. М Арстамян

К особенностям экстракции хлорталлат-аниона

(Представлено 29/Х 1979)

Известно, что реакционноспособной формой по отношению к катиону основного красителя (ОК) является ТІСІ[™] — анион, который образует с ОК хорошо экстрагирующиеся ионные ассоциаты. Характерно, что экстракция этих соединении обычно осуществляется из сравнительно кислых по НСІ растворов (¹). Замена соляной кислоты смесью Н₂SO₄ и КСІ позволила установить возможность количественного извлечения таллия (ІІІ) также и из слабокислых сред, если одновременно регулируется концентрация реагента-красителя (²).

В настоящем исследовании проведено изучение процесса извлечения хлорталлата ОК в зависимости от кислотности, при различной исходной концентрации хлорид-нона и постоянной концентрации ОК При этом преследовалась цель выяснить вопрос, имеющий сугубо теоретический интерес: как изменяется состав извлекаемого хлорталлатнона в зависимости от кислотности среды и концентрации хлорид-нона Этому могла бы способствовать легкая гидролизуемость солей таллия (3), тем более, что возможность экстракции гидроксокомплексных анионов в виде их ионных ассоциатов с ОК ранее была описана (4-11).

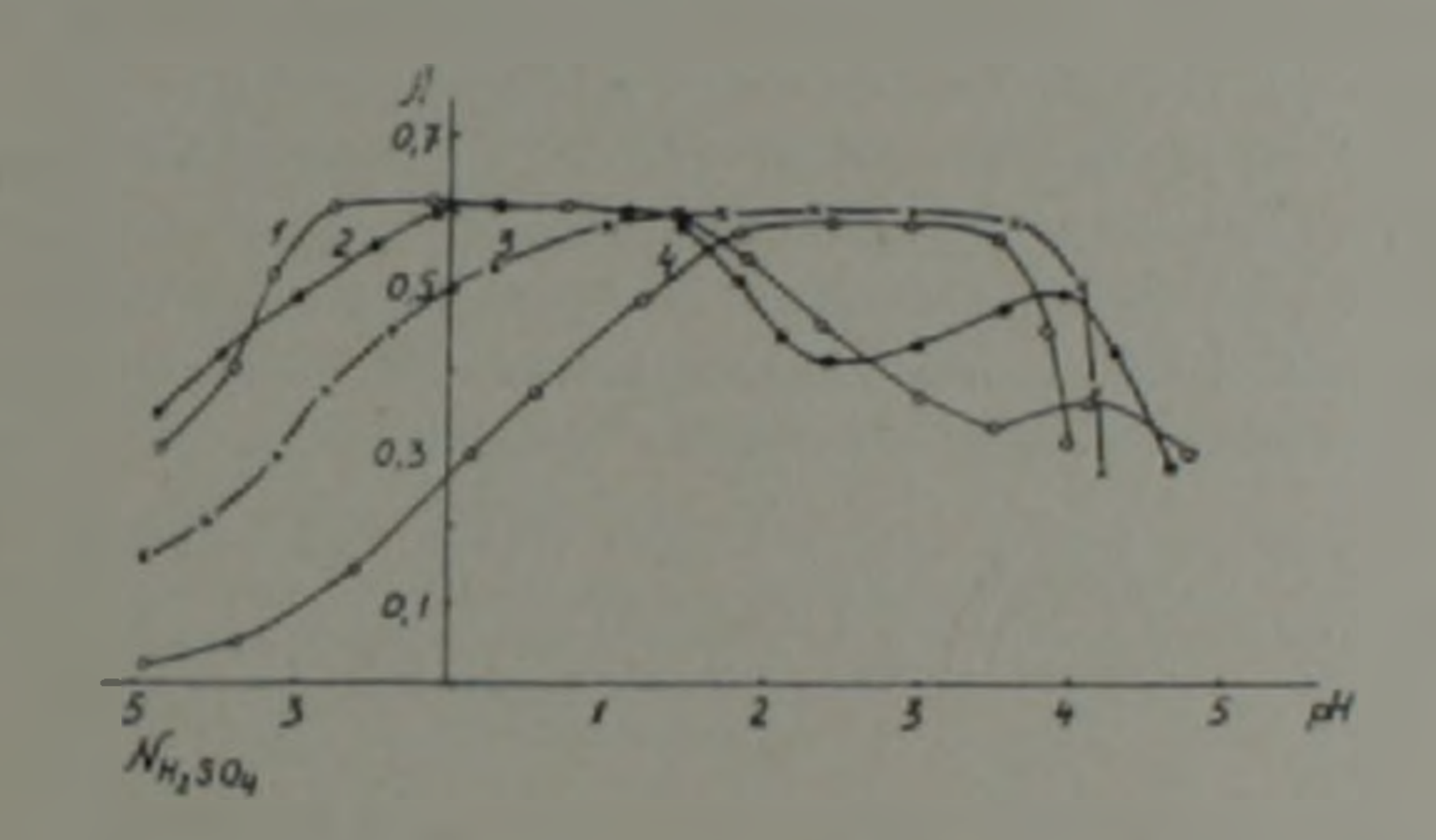
В качестве ОК использован краситель трифенилметанового ряда метиловый зеленый (МЗ).

Реагенты и аппаратура Запасной раствор таллия (1) готовили растворением сульфата таллия (1), марки «ч» в определенном объеме дистиллированной воды. Титр раствора устанавливали броматометрически (12 13). Разбавлением этого раствора получали растворы заданной концентрации. Окисление таллия (1) проводили хлорной водой в солянокислой среде.

Раствор красителя готовили растворением навески препарата марки Reanal (Colour Index № 42590) в рассчитаниюм объеме дистиллированной воды. В связи с некоторой его неустойчивостью во времени использовали только свежеприготовленные растворы красителя Кислотность регулировали серной кислотой, хлорид-ионы вводили в виде хлорид калия.

Оптическую плотность (OII) экстрактов измеряли спектрофотометром СФ-4А, а рН равновесной водной фазы — стеклянным электродом (потенциометр ЛПУ-01) В качестве наиболее подходящего органического растворителя, извлекающего таллий однократной экстракцией практически полностью и не экстрагирующего простую соль МЗ, был использован бензол. Экстракционное равновесие устанавливалось за 1 мим. Оптическая плотность бензольных экстрактов остается постоянной длительное время.

Влияние кислотности и [КСІ] на экстракцию таллия Была изучена зависимость ОП исследуемых экстрактов от кислотности среды, при различных исходишх концентрациях хлорид-нона и постоянной кон центрации реагента-красителя. Результирующие данные приведены на рисунке.



Зависимость ОП исследуемых экстрактов от кислотности среды. [T1 (III)] $4.9 \cdot 10^{-5}$ M, [M3]= $5.1 \cdot 10^{-5}$ M, [KC1], M: $1 - 10^{-2}$; $2 - 10^{-2}$, $3 - 10^{-3}$, $4 - 10^{-4}$

При сиижении исходной концентрации хлорид-пона область оптимальной для извлечения хлорталлата МЗ кислотности смещается в сторону менее кислых сред Так, при 1 10-4М концентрации хлорид-нона эта область включает значения рН от 2 до 3,5 (рисунок, кривая 4). Десятикратное повышение исходной концентрации хлорид-нона расширяет область оптимальной кислотности — рН 1,0—3,7 (кривая 3). При заметно большей кислотности З и H₂SO₄ — рН 1,5 (кривая 1) и 1 и H₂SO₄ — рН 1,4 (кривая 2) увеличение исходной концентрации хлориднона приводит к максимальному извлечению хлорталлата МЗ. Далее степень извлечения хлорталлата МЗ падает и начиная с рН 2,5 вновь возрастает, достигая максимального значения в области рН 4,0 (кривая 2). Появление «минимума», по-видимому, связано с полавлением экстракции рассматриваемого соединения в результате конкурирующих реакций в водной фазе Увеличение времени контакта фаз в данном

случае не привело к сглаживанию минимума на кривых / и 2, что позволяет считать его равновесным (14),

Возможность количественного извлечения хлорталлата МЗ при несьма различных кислотностях интересна и в дальнейшем может быть использована для повышения избирательности определения таллия (ПП) С другой стороны, факт извлечения таллия из слабокислых сред, и тем более при заметно малых концентрациях хлорид-иона, наводит на мысль о возможном изменении состава извлекаемого хлорталлат-нона, т. е. о возможности экстракции гидроксохлоридов таллат-нона, т. е. о возможности экстракции гидроксохлоридов таллат-нона. т. е. о возможности экстракции гидроксохлоридов талня (111)

Состав извлекаемого инионного комплекса. После извлечения хлорзаллата МЗ при определенных концентрационных условиях соответствующие экстракты были проанализированы на содержание ТІ (ІІІ) и
хлорид-нона Методика заключалась в следующем: несколько экстрактов хлорталлата МЗ (условия получения приведены в таблице), содержащих в сумме 80—120 мкг таллия, центрифугированием и продолжительным отстанванием тщательно отделяли от остатков водной фазы.
Затем экстракты выпаривали на водяной бане до сухих остатков, добавляли 5 мл 1.0 К не содержащей хлорид-нона азотной кислоты, и
нагревание продолжали до полного обеспечивания реагента-храсителя" Полученные растворы разбавляли водой до 25—30 мл и амперо-

Вличние кислотности водной фазы на состав извлекаемого в органическую фазу анионного комплекса таллия, [МЗ] = 5,1.10 -3 М

тавлече-		88.00	Содержание в экстракте г-нон - 10 ⁴			ниу- и иза- орга- орга- орга- орга-
Кислотность ной фази иня, %	Концентрация хлорид-нонов	TI (III)	CI	Отношение ТТ (ПП) :: [СП	Состав прениу- щественно и иле каемого в орга- ичческую флау гидрокомплекса таллия	
1.0 %	100	0.01 M	0.49 0.49 0.49	1.96 2.00 2.00	1:4.00 1:4.08 1:4.08	[TICI ₄]
pH 1.2	100	0.01 M	0.45 0.45 0.44 0.44	1.21 1.20 1.16 1.23	1:2:69 1:2:67 1:2:64 1:2:79	[Ti(OH)Cl ₃]
pH 3-2	75	0.01 M	0.44 0.59 0.59	1.01 1.01 1.30 1.29	1:2:29 1:2:29 1:2:20 1:2:19	TI(OH)2CI2]
pH 4.2	83	0.01 M	0.34 0.34 0.47	0.24 0.24 0.38	1:0.71	ITI(OH),CII

Предварительными опытами было установлено, что в описаними условиях по-

метрическим титрованием 10 ° М раствором АдNO₃ определяли концентрацию хлорид иона Параллельно проводили холостой опыт и в полученные результаты вносили поправку. Концентрацию перешедшего в экстракт таллия устанавливали с помощью соответствующего градунровочного графика. При этом, и в особенности при отклонении от оптимальной кислотности, учитывали также фактор извлечения хлорталлата МЗ.

Состав хлоридного комплекса таллия меняется с изменением концентрации кислоты в водной фазе, а именно, с ее повышением содержание хлорид-нона в экстрагируемом аннонном комплексе таллия повышается (таблица).

Полученные данные свидетельствуют о том, что из IN раствора II-SO, при соответствующей концентрации клорид нона извлекается нонный ассоциат, содержащий TICI₄-зинонный комплекс. С понижением кислотности извлекаются гидроксокомплексы таллия состава [TI(OH)CI₂] и [TI(OH)₂CI₂] (pH 1.2—3.2), а при pH 4.2 [TI(OH)₃CI] - аннон При 10 ¹М концентрации клорид-нона гидроксокомплекс послетнего состава извлекается в области pH 2.5—3.0.

Выщензложенное позволяет принять что злоридные комплексы таллия, как и ранее описанные комплексы сурьмы и таллия (4-11), могут извлекаться в органическую фазу и в координационно ненасыщенном по хлорид-нопу состоянии.

Ереванский государственный университет ПОНХ Академии наук Армянской ССР

Lunquine live the papulpy-mequel of the process. S of the 2080s. S of the 2080s.

Հիմնային ներկանյութի ճետ իոնական ասոցիատի և էքստրազվող քլութաիոնի բաղաղության հային

Ուսումևա ինրկանյուն մեն արարակյան՝ չնա թլոր-Բալատ առաջացրած իռնական հերկանյունի հաստատուն և իր-Նի փոփոխական կոնցննարացիանների պայմաններում ու իրհերկանյուն և հերկանյունի հաստատուն և իրհերկանյուն և հերկանյունի հաստատուն և իրհուրանա կորզումը արայննիս 110-2 և 10-1, 10-4 M) թլորնալատկան պայմաններում (pli phi phi phi և արևի ու իրհարարական հարարանին իր իրհարարական հարարանին իրհարարական հարարանին իրհարարական հարարանին իրհարարական հարարական իրհարարական հարարական իրհարարական հարարական հետում (pump-որհարարական հետում (pi hրհարարական հարարական հետում (pi hրհարարական հետում (pi hրհարարան հետում (pi hրհարարական հետում (pi hրհարարական հետում (pi hրհարարական հետում (pi hրհարարական հետում (pi hրհարարան հետում (pi hրհարարական հետում (pi hրհարարական հետում (pi hրհարարական հետում (pi hրհարարական հետում (pi hրհարարան հետում (pi hրհարարական հետում (pi hրհարա

#լարից-իոնի σ.σεΝ կոնցենտրացիայի պարմաններում՝ կախվամ ββվուµլանից, էրաարացվում են [TICI,]- (1№ H,SO,), [ТІ(ОНКІ,]- (рН—1, 2), $[T](OH)_{s}C.l.$ (pH = 3.21 = $[T](OH)_{s}Cl]$ (pH =4.2) - proposition with the second of the seco

ЛИТЕРАТУРА — РИЧИБИБРВИНЪ

1 В. М. Тараям, Е. Н. Овсепям, В. Ж. Арцруми, Арм. хим жури, т. 22, № 9 (1969) 2 В М Тараям Ф В Мирзоям Ж. В Саркисям, В Ж. Арцруми, ЖАХ, т. 32, № 7 (1977). 1 Ю Б. Яковлев, Ф Я Кульба, В Е Миропов, в сб.: «Проблемы современной химии координационных соединений», вып. 2, Ленниградский гос. ун-т. (1968). 1 В. М. Тараям, Ж. М. Арстамям, ДАН Арм. ССР, т. 53, № 4 (1971). 1 В М. Тараям, Ж. М. Арстамям, Арм. хим. жури., т. 26, № 2 (1973). 1 В. М. Тараям, Ж. М. Арстамям, Арм. хим. жури., т. 27, № 7 (1974). 1 В. М. Тараям, Ж. М. Арстамям, Л. Л. Молучарям, в сб. «Успехи яналитической химин», «Наука», М., 1974. 1 В. М. Тараям, Ж. М. Арстамям, Арм. хим. жури., т. 31, № 3 (1974). 1 В. М. Тараям, А. Н. Погосям, Ж. М. Арстамям, Арм. хим. жури. т. 30, № 11 (1977). 11 В. М. Тараям, А. Н. Погосям, Ж. М. Арстамям, Арм. хим. жури., т. 31, № 7 (1978). 12 Л. М. Коlthoff, Rec. 1829. chim., 41, 189 (1922). 13 П. Магенац., 1. Soc. chem. Ind., 1, 194 (1900). 1 м.), А. Золомов, Экстракция внутрикомплексиых соединений, "Наука", М., 1968.

LXX

1980

VAK 631 465

ВИМИХОЧТА

А III Галстян, С. А. Абрамян, Е. Н. Бадалян

Изучение ферментативной активности гумусовых веществ

(Представлено вкадемиком АН Армянской ССР Г С. Давтяном 14/VII 1979)

Источником почвенных ферментов являются растения, микроорганизмы и фауна почвы (1-2). Продуцированные организмами ферменты иммобилизуются почвениыми коллондами, приобретают высокую устойчивость и обусловливают биокаталитическую активность почвы Часть внеклеточных ферментов в почве находится в слабоадсорбированном состоянии и выделяется с помощью фосфатных буферных растворов со слабоосновной реакцией (2-5).

Исследование биокаталитических свойств минеральных и органических фракций почвы представляет определенный интерес для познания се генетических особенностей и сущности формирования плодородия. Изучение ферментативной активности гумусовых веществ проводится на препаратах, выделенных из почвы. Для этой цели необходимо применять мягкие экстрагенты, которые не инактивируют ферменты

В настоящей работе показана возможность применения аминоспиртов в качестве экстрагентов для выделения гумусовых веществ с целью изучения их ферментативной активности Исследования проводили на горно-луговой дерново і почве (A₁O -13 см, среднесуглинистая, гумус—15,7%, рН водной суспензии 5,1, сумма поглощенных оснований 28,8 мэкв на 100 г почвы, степень насыщенности—57,3%).

Для извлечения гумусовых веществ из почвы применяли 0,1; 0.2. 0,3 М растворы моно-, ди- и триэтаноламинов, которые обладают щелочными свойствами и хорошо растворимы в воде Почву заливали раствором аминоспирта соответствующей концентрации, при соотношении 1:10, и тщательно перемешивали Обработку почвы проводили при комнатной температуре, многократио, до осветления экстракта После отстаивания суспензии (24 ч) вытяжку осторожно сливали через сифон в другой сосуд и добавляли коагулятор — насыщенный раствор Na₂SO₄. Полученные вытяжки сумусовых веществ для отделения от минеральных примесей пропускали через проточную суперцентрифуту при скорости вращения 18 тыс об /мим В экстракте гуминовые (ГК) и фульвокислоты (ФК) разделяли концентрированной серной кисло-

той (рН 1.5). Полученные гели ГК после сливания раствора ФК промывали водой, днализировали в целлофановых мешочках для снижения зольности препарата и высушивали при 50° Одновременно препараты ГК и ФК выделяли с помощью 0,1 и NaOH по общепринятой методике (6-8).

Исследования показали, что из горно-луговой почвы с высоким уровнем накопления гумуса аминоспирты (0,2 М) выделяют намиого больше гумусовых веществ, чем 0,1 н. NaOH. Причем препараты ГК, выделенные аминоспиртами, содержат меньше золы и характеризуются большим выходом C_{rx} (табл. 1).

Тоблица 1 Вы зеление гуминовых кислот из почвы различными экстрагентами

Экстрагенты	-Ed THO	рН	Вес препарата		Зола,	Crx. % 01		
	Kenne nuw.		2	*	*	necs notam	Copr	
NaOН Мимеконетено Вимеконетено Нимеконетено	0.1 0.2 0.2 0.2	12.9 11.3 10.6 10.3	19.0 53.0 53.5 79.5	10:1 27:9 28:2 418	9.0 6.3 6.0	1.24 1.93 2.57 2.34	13.6 21.8 28.2 25.7	

Следует отметить, что препараты гумусовых веществ, выделенные аминоспиртами, находятся в различном состоянии гуминовые кислоты— в кристаллизованном, фульвокислоты— слабокристаллизованном, чешуйчатом при моноэтаноламине и аморфиом, несколько вязком при ли- и триэтаноламинах. Поэтому для выделения препаратов гумусовых веществ рекомендуется применять 0.2 М раствор моноэтаноламина.

В полученных препаратах гумусовых веществ (0,1 г) определяли активность некоторых ферментов ("). Препараты измельчали и просенвали через сито с диаметром отверстий 0,25 мм. Необходимо отметить, что гумусовые вещества в кристаллическом состоянии проявляют сравнительно меньшую активность ферментов, в частности тех, оптимум різ которых находится в слабокислом интервале. При растворении гумусовых веществ обнаруживается высокая ферментативная активность. В жидкой фазе созлаются оптимальные условия для ферментативной реакции, так как граница раздела между молекулой фермента и субстратом снимается и имеет место гомогенный катализ. Для этого необходимо препараты гумусовых веществ предварительно растворить в 1—2 мл фосфатного буферного раствора (різ 8,0), затем определить активность ферментов.

Опыты показали, что препараты гумусовых веществ обладают очень высокой активностью ферментов (табл. 2). Ферменты гумусовых препаратов электрофоретически не разделяются, следовательно, они находятся в сложном комплексе с гуминовыми и фульвокислотами и имобилизованы ими В качестве контроля служили стерилизованные сухим жаром при 180 в течение 3—4 ч препараты Стерилизация пол-

ностью не снимает ферментативное действие гумусовых веществ Гуминовые и фульвокислоты как высокомолекулярные, сложные структур ные образования обладают значительными каталитическими свойствами (10 11). Приведенные данные показывают, что препараты гумусовых веществ, выделенные с помощью NaOH, имеют низкую фермен-

Таблица 2 Ферментативная активность препаратов гуминовых кислот, выделенных различными экстрагентами (на 1 г препарата)

Экстрагент	Инвертаза, из гаюкозы				Дегидроге- назы, ма ТФФ	Каталаза. О ₂
NaOH	34.7	21.4	28.1	5.2	0.4	4.0
Моноэтаноламин	66.9	34.3	28.1	28.0	16.4	16.0
Диэтаноламин	65.2	21.4	28.1	28.8	16.3	9.5
Триэтаноламин	65.9	27.4	28.1	29.2	16.J	10.0

тативную активность. NaOH, по сравнению с моноэтаноламином, сильно инактивирует дегидрогеназы — на 97.5%, каталазу — 75%. АТФазу — 81.4%, затем инвертазу — 48.1%. Уреаза и фосфатаза инактивируются меньше — соответственно на 18.5 и 37.6%. Аналогичная картина получена и для препаратов фульвокислот. Следовательно, NaOH является жестким экстрагентом гумусовых веществ, и его не целесообразно применять при изучении ферментативной активности препаратов гуминовых и фульвокислот. Для этой цели рекомендуется использовать 0.2 М раствор моноэтаноламина.

Таким образом, препараты гумусовых веществ обладают высоков активностью ферментов Молекулы гуминовых и фульвокислот являются носителями при иммобилизации ферментов почв.

Институт почволедения и агрохимии МСХ Армянской ССР

U. C. PULIISSUV. II U UPPUZUUSUV, b & PUPULSUV

Հումուսային նյութեբի ֆեռմենտային ակտիվության ուսումնասիբությունը

ղբրաբթեն մանցութբուննար ասարգրալատիուենութրթեն։

հեսմրթեն ը ֆաւնվաելեր չարժիռարուց բր չանի ահատեմձանիր ֆբեղթրարթեր անարգել դարսէետրոնարին ընդարարին ընդարարուց բր չանի անտանձձանիր ֆբեղթրարթեր անարգել դարսէետրոնարին ընդանարուց բր չանի անանգնաց է՝ ան չուզիրարին դարսին դարսենարին արարգել դարսենարին ընդարարին ընդատանի չազան ասաձանիվուց է օժատարին դինասիարացան նայանարին արանանարին արարգելության և չանի արարգարին արարգել չանի արարգել չանին արարգել չանի չանի արարգել չանի արարգ

JHIEPATYPA-SPUSULORPBURL

1 В Ф Купревич, Т А. Шербакова. Почвенная эпонмология. Минск. 1966 1 А Ш. Галстян. Ферментативная активность поча Армении. "Айастан", Ереван. 1974 2 М Н Brigs. S. Segal. Liefe Sci., 2, 1963. 4 Martin-Smitn, Nature, 197, 4865 (1963). 3 Т. А Пербакова, В П. Максимова. Н. А Галушко. ДАН БССР, 1. 14, № 7 (1970) 4 М Л Кононова. Органическое вещество почвы. "Наука", М., 1964 1 Д. С. Орнов А А. Гришин. Н. Л Ерошичева. Практикум по бнохимия гумуса, Иза. МГУ. М., 1969. В Д. С. Орлов, Гумусовые вислогы почв. Иза. МГУ, М., 1974 4 Л. Ш. Галстян. Почвоведение. № 2, 1978. В А. В Мс Laren. Chemica Scripia, № 8, 1975. В А. В. М. В. Вагевад. Soil. Science, vol. 119. № 2 (1975).

